

Vysoká škola strojní a textilní
nositelka Řádu práce

Fakulta textilná

Obor 31 - 11 - 8

Technológia textilu, kože, gumy a plastických hmôr

Zameranie

netkané textilia - ekonomika textilného priemyslu

Katedra netkaných textilií

Vzťahy medzi orientáciou vlákien v pojených textiliach
a kapilaritou

Erika Medzihradská

Vedúci práce: Prof. Ing. Dr.techn. Radko Krčma, DrSc.

Konzultant: Ing. Bohuslav Neckář, CSc. - SVÚT Liberec

Rozsah práce a príloh:

Počet strán	73
Počet príloh	1
Počet tabuliek	10
Počet obrázkov	7
Počet grafov	13

V Liberci 23. mája 1980

DIPLOMOVÝ ÚKOL

pro

Eriku Medzihradskou

obor

Protože jste splnila požadavky učebního plánu, zadává Vám vedoucí katedry ve smyslu směrnic ministerstva školství a kultury o státních závěrečných zkouškách tento diplomový úkol:

Název tématu: Vztahy mezi orientací vláken v pojenech textiliích a kapilaritou

Pokyny pro vypracování:

1. Seznamte se s metodami zjištování vzlínavosti u plošných vlákných útvarů.
2. Prověřte možnost zjištování vzlínavosti kapkovou metodou dle návrhu SVÚT.
3. Srovnajte vzlínavost vody zjištovanou kapkovou metodou a metodou podle ČSN v různých směrech.
4. Pokuste se o objasnění souvislostí mezi orientací vláken a vzlínavostí.

Autorské právo se řídí směrnicemi MŠK pro státní záv. zkoušky č.j. 31 727/62-III/2 ze dne 13. července 1962-Vestnik MŠK XVIII, sešit 24 ze dne 31.8.1962 §19 aut.z č.115/53Sb.

VYSOKÁ ŠKOLA STROJNÍ A TEXTILNÍ
Ústřední knihovna
LIBEREC 1, STUDENTSKÁ 8
FSC 461 17

✓ 26/79 80 T

Rozsah grafických prací:

Rozsah průvodní zprávy: 40 - 60 stran

Seznam odborné literatury:

1. Neckář B.; Kovárová A.; Kavan P.: Podkladové materiály pro zprávu
Konzul, SVÚT Liberec, 1979
2. Jörder H.: Nichtgewebte Textilien, Frankfurt n. M., 1977

Vedoucí diplomové práce: Prof.Ing.Dr.techn.Radko Krčma,DrSc

Konsultanti: Ing. Bohuslav Neckář - SVÚT Liberec

Datum zadání diplomového úkolu: 8. 10. 1979

Termín odevzdání diplomové práce: 23. 5. 1980

L. S.



Prof.Ing.Dr.techn.Radko Krčma,DrSc

Vedoucí katedry

Děkan

v

Liberci

dne

8. 10.

1979

M i e s t o p r i s a ž n é

p r e h l á s e n i e

Miestoprisažne prehlasujem, že zadamú diplomovú prácu som vypracovala samostatne s použitím uvedenej literatúry.

Erika Nedzisová

V Liberci 23. mája 1980

P o ð a k o v a n i e

Tento cestou by som sa chcela poðakovat' Ing. Bohuslavovi Neckárovi CSc. za cenné pripomienky a odbornú pomoc pri tvorbe diplomovej práce. Zvlášť by som sa chcela poðakovat' Ing. E. Švehlovej a A. Kovárovej, prom. mat. za pomoc pri vypracovaní diplomovej práce.

O b s a h

strana

1. Úvod	7
2. Problémy štruktúry a orientácie pojencých textílii	
2.1. Usporiadanie vlákien v rúne a princípy jeho stanovenia	10
2.2. Frekvenčná funkcia orientácie - model SVÚT	14
3. Sorpcia vody a bobtnanie u textilných materiálov	
3.1. Voda a vláknový materiál	16
3.2. Sorpcia vody a štruktúra textilných útvarov	19
3.3. Vplyv vlhkosti na textilné materiály	23
3.4. Fyzikálna podstata javov ovplyvňujúcich savosť textílii	
3.4.1. Molekulárny tlak	25
3.4.2. Povrchové napätie	26
3.5. Návrh modelového preradenia savosti vzlínaním k frekvenčnej funkcií orientácie	30
3.6. Vyparovanie kvapalín, vplyv difuzie na vyparovanie	33
3.7. Zaistovanie rovnomernosti vláknových produktov	35
4. Experimenty a ich výhodnotenie	
4.1. Experimentálny materiál	38
4.2. Prevedené meranie	
4.2.1. Savosť vzlínaním	39
4.2.2. Metóda kvapiek	45
4.3. Vyhodnotenie nameraných hodnôt	
4.3.1. Vyhodnotenie savosti vzlínaním	48
4.3.2. Vyhodnotenie kvapkových experimentov	65
5. Diskusia	69
6. Záver	70
7. Použitá literatúra	72

Zoznam skratiek a symbolov

- r_0 - polomer molekulárneho pôsobenia
 dl - úsečka dĺžky
 σ - povrchové napätie
 $\alpha\beta$ - krajový uhol
 M - množstvo molekuly
 U_0 - výparné teplo
 T - absolutná teplota
 n - počet všetkých molekúl
 φ - relativná vlhkosť
 i - difuzný tok
 D - koeficient difuzie
 $\frac{dg}{dx}$ - gradient hustoty plynu
 c - miera orientácie
 L - % pojiva
 a - athézna schopnosť pojiva
 b - charakter vláknového materiálu
 k_1 - konštantá určujúca veľkosť orientovanej komponenty
 k_2 - konštantá určujúca veľkosť neorientovanej komponenty
 h - celková výška vzlinania
 x - hodnota integrálu za použitia správneho koef. c
 μ - koeficient zaplnenia
 V - objem kvapky
 P - plocha kvapky
 t - hrúbka textilie
 d - priemer vlákna
 P_k - komponenta pojiva
 O_k - orientovaná komponenta
 V_k - všešmerová komponenta

Socialistická spoločnosť kladie na textilnú výrobu stále väčšie nároky, a to ako z hľadiska kvality, tak i množstva. Produkcia textilného priemyslu sa stala základňou pre ďalšie zvyšovanie úrovne obyvateľstva.

Objem textilnej výroby trvale rastie, počet pracovníkov však nielen že sa nedá zvyšovať, ale práve naopak je nutné ho podstatne znižovať. Za tejto situácie nie je možné zaistovať rozširovanie objemu výroby tradičnými spôsobmi. Preto sa v poslednej dobe textilnej výrobe začinajú stále vo väčšom rozsahu uplatňovať nové netradičné postupy. Ich spoločným znakom je to, že vyradujú pracné operácie, ako tkanie, pletenie, dopriadanie, spriadanie, popr. i mykanie, a nahradzujú sa operáciami jednoduchšími a rýchlejšími - striekaním, impregnovaním, lisovaním a pod.. Cielom a výsledkom je podstatné zvýšenie rýchlosťi výroby a podstatné zniženie podielu živej práce.

Tieto nové technológie a výrobky označujeme ako netkané textilie.

V súčasnej dobe kladieme najväčší dôraz na zvyšovanie akosti textilných výrobkov. V dôsledku toho je nutné poznáť vlastnosti textilných výrobkov. Vlastnosti netkaných textilií, správnosť výrobného postupu i akosť výrobku sa poveruje vhodnými skúšobnými metódami. Z radu skúšobných metód je i skúmanie vzťahov medzi orientáciou vlákien v pojencích textiliách a kapilaritou.

Za určitej podmienky savosť textilií charakterizuje priamo niektoré vlastnosti ako napr. pôrovitosť, priedušnosť, ktorou bude možno charakterizovať štruktúru a tým i niektoré vlastnosti.

Cieľom tejto diplomovej práce je prispieť k výskumu súvesí netkaných textilií a zistit, či existujú vzťahy medzi orientáciou vlákien v pojedených textiliach a kapilárítou.

THEORETICKÁ ČASŤ

2. Problémy orientácie a štruktúry pojených textílií

2.1. Usporiadanie vlákien v rúne a princípy jeho stanovenia

Štruktúra /4/ rúna je daná usporiadaním vlákien z ktorých je rúna zostavená. Vlákno je jedinec nie je pre štruktúru zrejme charakteristické, takže na štruktúru nutno usudzovať pre vyšetrenie väčšieho počtu vlákien.

Mikroskopickým pozorovaním rúna sa dá presvedčiť o tom, že jeho štruktúra nie je v celej oblasti rovnaká ani na tom istom vzorku. Viditeľné rozdiely sú patrné napr. pri pozorovaní rubu a lícu pneumaticky vyrobeného rúna, jeho plošná hmotnosť je väčšia než $0,1 \text{ kg/m}^2$, alebo pri pozorovaní na vrstveného rúna, ktoré je zložené z rôznych vrstevných útvarov.

Pneumaticky vytvárané rúno o malej plošnej hmotnosti má vlákna usporiadané tak, že na prvý pohľad nie je patrné, ktorý smer prevláda. Štruktúru rúna možno v prvom priblížení posudzovať z hladiska dvojrozmerného, to znamená, že rúno je považované za dvojrozmerný útvar, a uloženie vlákien je potom posudzované len v smeroch ležiacich v rovine rúna. Toto zjednodušenie je prijateľné pre tenké rúna, avšak pre hrubé rúna môžu nastat pri tomto vyšetrení značné odchýlky od skutočného stavu.

Pre presnejšie vyšetrenie štruktúry rúna je preto nezbytné charakterizovať polohu vlákien z hladiska trojrozmerného. Metódy, ktoré by to umožnili však nie sú ešte dostatočne rozpracované. Príčiny vzniku rôznej štruktúry nutno hľadať však vo vlastnej výrobnej technológii, tak i v akosti a v množstve

spracovaného materiálu. Rozdielnosť štruktúry rúna, vznikajúceho za rovnakých technologických podmienok, je potom zapríčinená nestálosťou javu. Ako dôsledky rôznej štruktúry rúna sa dá napr. uviesť jeho mechanické vlastnosti v pozdĺžnom a priečnom smere, filtračné vlastnosti včetne savosti. V ďalšom výrobnom procese ovplyvňuje potom štruktúra rúna použiteľnosť rôznych výrobných technológií, ak už v priebehu spracovania na priadze, alebo v priebehu výroby netkaných textilií. Do hotových výrobkov sa štruktúra rúna premieta zvlášť vtedy, ak nebola v predchádzajúcom výrobnom procese prehlušená. Tento prípad nastáva zvlášť u netkaných textilií, zatiaľ čo pri klasickom spriadaní sa tento vplyv prejavuje až druhotne na konečnom výrobku.

Distribúcia smerov vlákna

Petterson, Hearle a Stevenson a po nich i Godek uvádzajú /všeobecne/ závislosť

$$\int_{-\frac{\pi}{2}}^{\frac{\pi}{2}} \tilde{\phi}(\beta) d\beta = 1^*$$

ktorá charakterizuje zaplnenie smerov vláknien pri rovinnom vyšetrovaní rúna. Funkcia $\tilde{\phi}(\beta)$ nazývaná frekvenčnou funkciou orientácie. Úhol β určuje smer vztažnej ploche a čiselná hodnota $\tilde{\phi}(\beta)$ udáva pomernú četnosť pozorovaných elementov, kde ich smer padá do smeru β . Distribúcia orientácie je udávaná ako veličina pomerná, volená tak, aby hodnota integrálu bola rovna 1. Znázormenie sa prevádzka buď polárnym diagramom, kde zvislý smer je rovnobežný s hlavným smerom vyšetrovaného útvaru alebo histogramom.

Údaje určujúce štruktúru - základné pojmy

Četnosť smerov úsekov vlákien je vektor, jeho veľkosť je daná počtom úsekov vlákien, zatriedeného do príslušného uhlového intervalu. Smer orientácie je súhlasný so smerom menovitého uhlového intervalu. Od četnosti smerov úseku vlákien liši sa hodnota orientácie tým, že zahrňuje nielen úseky vlákien smerujúcich pozdĺž osy príslušného uhlového intervalu, ale všetky úseky vlákien, ktoré spadajú do príslušného uhlového intervalu. Pre čiernu veľkosť orientácie a četnosti úsekov vlákien bude teda platiť :

$$\mathcal{O}_B \leq \mathcal{C}_B$$

kde \mathcal{C}_B je orientácia a \mathcal{O}_B je četnosť smerov úsekov vlákien.

Orienteované rúno sa vyznačuje tým, že distribučný diagram orientácie dosahuje pre určitý smer maximálne hodnoty. Orientované rúno je typom bežne sa vyskytujúceho rúna.

Plošne orientované rúno vykazuje prevažujúcu orientáciu vlákien v ploche. Charakteristický znak plošne orientovaného rúna rastie s klesajúcou hrúbkou rúna.

Neorientované rúno je charakterizované tým, že orientácia úsekov vlákien je vo všetkých priestorových smerech rovnaká, takže miera jeho priestorovej orientácie sa rovná 1.

Izotropické rúno má všetky /tedy nielen štruktuálne/ vlastnosti rovnaké vo všetkých priestorových smerech. Neorientované rúno vyhovuje tomuto pojmu len z hľadiska štruktúry, takže obidva pojmy sa nedajú stotožňovať.

Metódy plošného vyšetrovania polohy vlákien v rúnu

Metódy priame

Tieto metódy sú zaužívané na makroskopickom pozorovaní štruktúry rúna. Pre vyhodnotenie sú sledované smery vlákien alebo počet priešečníkov vlákien s rovinou, ktorej smer je predom určený.

Metódy nepriame

Sú vo väčšine prípadov menej presné než metódy priame. Jeho výsledky sú však ovplyvňované fyzikálne-mechanickými vlastnosťami rúna, alebo vláknitého materiálu.

Digitalizačná metóda zistovania polohy vlákien v rúne

Jedná sa o metódu plošného vyhodnocovania orientácie v rúne. Ide o priamu metódu. Vlákna sú priamo sledované pod mikroskopom a sú vyhodnocované smery jednotlivých rôzne dĺžkých úsekov vlákien, na ktoré je zdigitalizované vlákno rozdelené.

2.2. Frekvenčná funkcia orientácie - model SVUT

Nech máme funkciu $g(\varphi)$

Spĺňa požiadavky:

1. je nezáporná $g(\varphi) \geq 0$ pre všetky φ
2. je spojité
3. je periodická s periódou T

$$g(\varphi) = g(\varphi) + nT$$

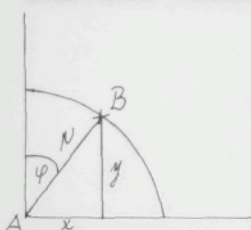
n... lubevoľné prirodzené

číslo

$$4. \text{ platí, že } \int_{-\frac{T}{2}}^{\frac{T}{2}} g(\varphi) d\varphi = 1$$

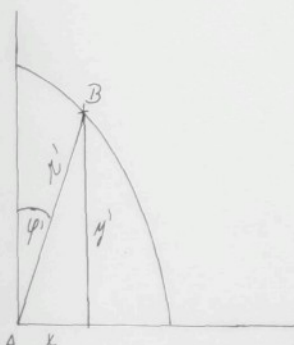
Potom frekvenčnú funkciu orientácie nazývame funkciou definovanou $f(\varphi) = \begin{cases} g(\varphi) & \varphi \in (-\frac{T}{2}, \frac{T}{2}) \\ 0 & \varphi \notin (-\frac{T}{2}, \frac{T}{2}) \end{cases}$

Máme úsek vlákna / AB/



$$\begin{aligned} y &= N \cdot \cos \varphi \\ x &= N \cdot \sin \varphi \end{aligned}$$

Tieto vlákna berieme do úvahy ako natiahované / napr. na mykacom stroji/ - orientujú sa. S tým sa kruh predĺži, dostaneme elipsu, tým sa vzdialenosť y mení na y'.



$$\begin{aligned} y' &= c \cdot y \\ y' &= c \cdot r \cdot \cos \varphi \\ \ell y' &= \frac{x}{y'} = \frac{x}{c \cdot r} = \frac{1}{c} \cdot \frac{x}{y} = \frac{1}{c} \ell y \end{aligned}$$

c ... miera vytiahnutia a tým tiež zorientovanie do zvislého smeru

deriváciou dostaneme

$$\frac{d\varphi'}{\cos^2\varphi'} = \frac{1}{c} - \frac{d\varphi}{\cos^2\varphi} ; \quad \frac{d\varphi'}{d\varphi} = \frac{1}{c} - \frac{\cos^2\varphi'}{\cos^2\varphi}$$

za použitie vzorca:

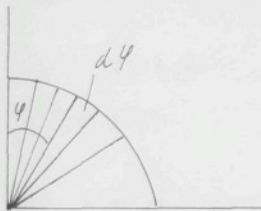
$$\frac{1}{\cos^2\varphi} = 1 + \operatorname{tg}^2\varphi$$

plynie

$$\frac{1}{c} \cdot \frac{1}{\cos^2\varphi} (1 + \operatorname{tg}^2\varphi)$$

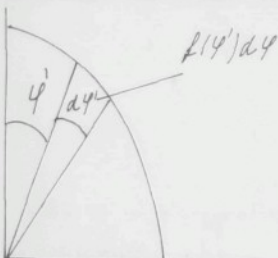
$$\frac{d\varphi'}{d\varphi} = \frac{1}{c} \cdot \cos^2\varphi' (1 + c^2 \operatorname{tg}^2\varphi') = \frac{1}{c} \cdot \cos^2\varphi' + c \sin^2\varphi'$$

Uvažujeme, že v počiatocnom stave sú vlákna orientované rovnako všetkými smermi – ideálny stav. Potom



$$f(\varphi) = \frac{1}{\pi}$$

Pri zorientovaní dochádza k zmene – $d\varphi - d\varphi'; \varphi - \varphi'$



$$f(\varphi)d\varphi - f(\varphi')d\varphi' \\ f(\varphi') = f(\varphi) \cdot \frac{d\varphi}{d\varphi'}$$

$$f(\varphi') = \frac{1}{\pi} \cdot \frac{d\varphi}{d\varphi'}$$

Dalšou úpravou dostaneme frekvenčnú funkciu:

$$f(\varphi) = \frac{1}{\pi} \cdot \frac{1}{\frac{1}{c} \cos^2\varphi' + c \sin^2\varphi'} = \frac{1}{\pi} \cdot \frac{c}{\cos^2\varphi' + c^2 \sin^2\varphi'} = \\ = \frac{c}{\cos^2\varphi' + c^2 - c^2 \cos^2\varphi'} = \frac{1}{\pi} \cdot \frac{c}{c^2 - (c^2 - 1) \cdot \cos^2\varphi'}$$

3. Sorpcia vody a bobtnanie u textilných materiálov

3.1. Voda a vláknový materiál

Mechanizmus transportu vlhkosti v netkaných textiliach z rúna, používaných v odevnom a obuvníckom priemysle

H. Jörder /2/ sa začína s touto problematikou. I keď tento výskum nesúvisí s diplomovou prácou je potrebné uviesť pre širší prehľad.

Ludské telo vydáva za účelom udržania konštantnej telesnej teploty skrz pokožku vodu. Voda vystupuje z pokožky prevažne v tekutom stave. Na pokožke sa odparuje a plní pritom úlohu odvádzania tepla. Fyziologicky správne fungujúci odev musí transportovať vodu z pokožky smerom von, aby sa zamedzilo vytvoreniu vlhkých zón na pokožke alebo v odevе.

Transport vlhkosti môže nastáť nasledujúcimi spôsobmi:

- a/ difúziou vo forme vodnej pary cez pôry textilií
- b/ absorpciou vodnej pary a výdaj do vonkajšieho prostredia desorpciou
- c/ vo forme kvapalnej vody pôsobením kapilárneho trnásportu vlhkosti

Najvhodnejšie je, ak sa odvádzajúce pot vo forme vodnej parы, pretože sa tým odoberá ľudskému telu v 1 gramu odparenej vlhkosti 580 cal. Tento pochod nastanie vtedy, ak odev má dostatočný počet veľkých pôrov. Ak sú pôry veľmi malé alebo ich počet nie je postačujúci, potom sa transport vlhkosti cestou vodnej pary značne priškrnuje. Transport vlhkosti potom môže prebiehať len cestou absorpcie nasledujúcou de-sorpciou do vonkajšieho prostredia alebo vo forme vody kapilárnym účinkom.

Priepustnosť vodných par vykazuje podstatne menšiu redukciu než priepustnosť vzduchu a prijatie mechanicky viazanej vody. Zniženie priepustnosti vodnej pary čini po spevnení pojivom asi 28%, po kalandrovani asi 43%. Z toho nálezu treba učinit záver, že transport vodnej pary u pojencích vzorkov neprebieha výlučne len skr pôry, ale že sa vodná para prepravuje čiastečne serpciou vlákien alebo pojiva, a po priechode netkanou textiliou sa vydáva do okolia desorpciou. U netkaných textilií tejto druhu, ktoré majú ako ukazujú hodnoty nízkej priepustnosti vzduchu, len malý počet otvorených pôrov, sa patrne prepravuje asi polovina vodnej pary touto cestou. Schopnosť akumulácie vodnej pary je ovplyvňovaná ako druhom vlákna, tak i typom pojiva. U netkaných textilií z vlákien polyesterových a polyakrylnitrilových viedie použitie pojiva k miernemu zlepšeniu schopnosti akumulácie vodnej pary, u vlákien polyamidevých sa tato vlastnosť nemení a u vlákien hydroskopických - tedy viskozových a vlnených, dochádza ku zniženiu schopnosti akumulácie vodnej pary, pretože vlákna sú obklopené menej hydroskopickým pojivom.

U netkaných textilií s dobrými savými schopnosťami môže prebiehať transport vlhkosti takisto vo forme vody. To platí aj v prípade, keď za podmienok bežne sa vyskytujeceho teplotného spádu smerom do pokožky skrz odev dôjde ku kondenzácii časti vodných par na vodu. Pre netkané textilie s nízkou priepustnosťou vodných par hrá dôležitú úlohu schopnosť vodnej pary. Použitím hydroskopických vlákien alebo špeciálnou úpravou rúna zo syntetických vlákien pomocou hydroskopických polymerov sa dá schopnosť akumulácie vodných par zlepšiť.

Pre transport vlhkosti skrz odev sú teda 2 vlastnosti zvlášť dôležité: prípustnosť vodných par a schopnosť akumulácie vodnej pary. V odevnom priemysle sa vo väčšom rozsahu používajú netkané textílie ako vložkoviny alebo ako syntetické velurové usne. Takisto obuvnícky priemysel používa vložkoviny a vrchný materiál na báze netkaných textilií. Pre netkané textílie určené na takéto použitie je totiž výskum transportu vlhkosti značne dôležitý. Netkané textílie používajú aj v iných oborech ako napr. v zdravotníctve. Tu hrá dôležitú úlohu odvádzanie vody kapilárne. Tieto netkané textílie sú vyhotovené z hydrofilných vlákien a pojené z hydrofilným pojivom. Takeuto netkanou textíliou je F L O R A N - predmetom bola jej savosť tejto diplomovej práce.

3.2. Sorpcia vody a vláknový materiál

Sorpciu sa označuje vstrebávanie par, plynov, suchých mikroskopických častičiek alebo energie / svetla, tepla a pod./ rôznymi látkami. U textilných vlákien je najdôležitejšie pohlcovanie vody a vodných par. /3/

Rozlišujeme rôzne druhy sorpcii: absorpciu, adsorpciu, desorpciu.

Absorpcia je proces pohlcovania a prenikania pohltenej látky do štruktúry sorbenta do pôrov medzi jeho molekulami. Adsorpcia tvorí časť obecnejšieho zjavu sorpcie a rozumie sa jej každá samovolná zmena koncentrácie na povrchu látky. Spoločným znakom všetkých adsorpčných zjavov je, že zadržené množstvo závisí od koncentrácie látky nachádzajúcej sa v príslušnej fáze. Závislosť medzi prebývajúcim množstvom a množstvom zadržaným je daná adsorpčnou izotermou.

Molekuly, ktoré sú vo vnútri látky sú v rovnováhe, pretože na seba pôsobia vzájomne vnútornými silami. Avšak molekuly, ktoré sú na povrchu látky, sú len čiastočne v rovnováhe, t.j. v rovnováhe sú len tie, ktoré pôsobia do vnútra látky. To znamená, že sily pôsobiace navonok sú volné a ako také môžu pritáhovať častice i z okolia.

Desorpcia je vydávanie pohltencích častic do okolia. Druhom sorpcie, vzťahujúce sa k schopnosti vlákien prijímať a zadržovať vlhkosť zo vzduchu je hygroskopičnosť.

Sorpcia vodných par textilnými materiálmi

Zo všetkých pohltencích látok vláknom je najdôležitejšia atmosferická vlhkosť. Obsah vlhkosti pohltene vláknami závisí

v prvom rade od materiálu samého a ďalej od relativnej vlhkosti vzduchu a teploty. Pehľcovanie vody vláknami teho istého druhu rastie so zväčšovaním relativnej vlhkosti vzduchu, klesá však s rastúcou teplotou. Za daných podmienok prijímajú textilné vlákna vlhkosť tak dlho, až sa dosiahne rovnovážneho stavu. Tento úkaz sa nazýva absorpciou. Ak klesá relativná vlhkosť vzduchu, strácajú vlákna časť vlhkosti, ktorú odevzadávajú okolitému vzduchu až do rovnovážneho stavu a tento pochod nazývame desorpciou. Rovnováha je dosiahnutá vtedy, ak nepribúda ani neubúda vähy uvažovaného vláknového materiálu. Adsorbované molekuly parí na rezdiel od absorbovaných časti nie sú v klude ani v rovnovážnom stave, skôr konajú pohyb. Časť týchto molekúl sa odtrháva od povrchu vlákna a vracia sa do atmosféry.

Krivky, ktoré znázorňujú závislosť medzi rovnovážnou vlhkostou a relativnou vlhkostou vzduchu za rovnakej teplote, nazývajú sa sorpčné izotermy. Pre textilné vlákna sú to krivky tvaru "S". Pri rovnakej relativnej vlhkosti vzduchu a teploty môžu tie isté vlákna obsahovať rôzne množstvo vlhkosti a práve podľa teho, že či vlhkosť prijímalia alebo ju vydávala.

Názory na vlhkostnú hysteréziu sú rozdielne. Urquhart pričíta hysteréziu celulózových vlákien tomu, že pri vysušení teda desorpcii zostáva časť vlhkosti viazaná hydroxilovými skupinami a zostane vo vlákne. Stamm a Patrick usudzujú, že držanie a odevzdanie vlhkosti je spôsobené prítomnosťou vzduchu v medzimicelárnych priestorech vlákna. K tomuto názeru prispeli tým, že hysterézia nenastáva ak sa desorpcia prevádzka vo vákuu.

U vlny preniká malá časť vody kryštalickou mriežkou, ale väčšina vody je absorbovaná amorfími oblasťami. Podľa dvojfázovej teórie ukazuje serpčná izoterma u vlny, že počiatečná absorpcia je združená s hydrofilnými skupinami postrannými retiazami vlny, a voda neskôr absorbovaná je uložená tak, že jedna molekula vody je združená s každou peptidou skupinou pri nasýtení a tátô voda je príčinou zniženia tuhosti vlákna pri absorpcii vlhkosti. Ďalšia časť vody je uložená volne. Hedváb má asi ten istý stupeň nasýtenia vlhkosti ako vlna. Vlákna polyamidové majú o mnoho menší ob-sah vlhkosti než hedváb alebo vlna, pravdepodobne vplyvom chýbajúcich polárnych retiazcov. Izotermu všetkých znova navlhčívych a vysušených textilných materiálov vykazujú hysteréziu, to znamená, že množstvo vlhkosti, ak je v rovnovážnom stave s vláknom, je väčší pri desorpcii než pri absorpcii.

Sušenie vlákien pri vysokej teplote znižuje sa tepelným namáhaním počet upotrebených aktívnych skupín a výsledkom je znižená absorpcia. Naproti tomu vystavenie vlákien teplu s nadbytkom vlhkosti má za následok zvýšenie absorpcie celulózových vlákien vplyvom okamžite uvoľnených skupín, spojujúcich sa s novými molekulami vody. Hysterézia sa znižuje zvyšovaním teploty až sa dosiahne hranica počtu upotrebených aktívnych skupín.

Pomer obsahu vlhkosti rôznych celulózových vlákien vzhľadom k čisto vyvarenej bavlnie za rôznych relatívnych vlhkostí nazývame serpčným pomerom, ktorý je takmer nezávislý na vlhkosti. Napr. bavlna mercereovaná pri akejkoľvek vlhkosti obsahuje asi 1,5 krát viac vody než bavlna vyvarená v séde, za-

tial čo viskozové vlákna majú pomer sorpcie ďva. Konštanta pomeru sorpcie pri značnom rozsahu relatívnej vlhkosti viedie k predpokladu, že vlastnosti zložiek, spôsobujúce absorpciu sú prakticky rovnaké vo všetkých týchto vláknach, ale že množstvo sorpčnej látky sa líši u jednotlivých druhov vláken, je tu tedy rozdiel v kvantite ale nie v kvalite sorbentov. Z toho vyplýva, že množstvo sorpčnej látky v regenerovaných celulózových vláknach je asi 2 krát väčší než u vláken prírodných celulóz.

Bobtnanie

Ďalším dôsledkom absorpcie vlhka je bobtnanie textilných vláken. Molekuly vody rýchlo prenikajú amorfными oblastami, ale veľmi málo vody sa dostane do oblasti kryštaličkých. Pretože vo všetkých vláknach vykazujú molekuly orientáciu v smere vláknovej osy a kryštały sú o mnoho dlhšie než je ich šírka, je pochopiteľné, že táto istá hrúbka amorfnej fázy vlákno - voda, obklopujúci kryštalickú oblasť, bude bobtnať viac pestranne než pozdĺžne.

Ak začne vlákno absorbovať vodu, nastáva z počiatku malé zúženie celkového objemu. Je to akési zhustenie, obrána vlákna proti vnikaniu vlhkosti. Je treba zdôrazniť, že počatočné zvýšenie hustoty v závislosti na obsahu vlhkosti nemusí vždy znamenať stlačenie absorbevanej vody, ale skôr že táto vyplňuje medzipriestory vo vlákne.

3.3. Vplyv vlhkosti na textilné materiály

Ak je textilná vrstva alebo kombinácia niekoľkých vrstiev prepúšťajúcich vodnú paru, vystavená na jednej strane pôsobeniu vodných par z ľudského organizmu a na druhej strane je prostredie nedostatočne nasýtené vodnou parou o nižšom obsahu vodnej pary než na strane prvej, prenikne vodná para textilou vrstvou. Z povrchu ľudského tela prienik vlhkosti do textílie môže prebiehať nasledujúcimi mechanizmami.

1. Priepustnosť vodných par pôrimi textílie

Množstvo vody prenikajúce týmto spôsobom textilným materiálom, je ovplyvnené štruktúrou textílie, t.j. hrúbkou vrstvy a formou vzdušných kanálov, daných parametrami vlákien.

2. Kapilárnym odvodom vlhkosti do medzivlákmoveho priestoru.

Savosť, t.j. sacia výška kapiláry, závisí na jej priemeru a zmäčanlivosti povrchu steny. Pod pojmom kapilára sa rozumie medzipriestor a medzera medzi jednotlivými vláknami a nitami textílie. Kapilárna vodivosť je významná pre odvod vody z kondenzovanej vo vnútri vrstvy pri prekročení napäťia nasýtených par. Veľkosť kapilárnej vodivosti možno meniť geometrickou formou kapilár a zmäčanlivostou povrchu vlákien.

3. Adsorpciou vody na povrchu vlákna

Princípom je migrácia, putovanie vody viazanéj na povrchu vlákien, závisí na zmäčanlivosti povrchu vlákien. Mechanizmus adsorpcie má podstatný vplyv na prestup vodných par textilou vrstvou.

4. Absorpcia vody do vnútra vlákna

V dôsledku absorpcie vody vo vnútra vlákna dochádza k bobnaniu, zväčšuje sa objem vlákna, zmenšujú sa medzivlákmove

priestery a tým sa znižuje prieplustnosť vodných par. Ďalej by sa ečakávať, že textilný materiál so zniženou bôbtnavosťou by mal mať, pokiaľ bôbtnavosť má zásadný vplyv na prieplustnosť vlhkosti, zvýšenú prieplustnosť vlhkosti.

3.4. Fyzikálna podstata javov ovplyvňujúcich savosť textilií

3.4.1. Molekulárny tlak

Molekuly vo vnútri kvapaliny pôsobia /1/ na seba prítažlivými silami, tieto sily však nie sú gravitačného pôvodu. Okolo každej molekuly vo vnútri kvapaliny sa dá opísat golvú plochu o takom polomeru r_0 , že sily, ktorými na túto molekulu pôsobia molekuly vonku tejto plochy sú zanedbatelne malé. Táto myšlená golvá plocha je nazývaná sférou molekulárneho pôsobenia a jej prislúchajúci polomer r_0 polomerom molekulárneho pôsobenia. Sférou molekulárneho pôsobenia sa rozumie teda oblasť, v ktorej medzimolekulárne sily vyvolávajú pozorovateľné účinky. Spravidla sa pre polomer molekulárneho pôsobenia berie radičná hodnota 10^{-9} m. Z toho plynie, že sféra molekulárneho pôsobenia obsahuje napr. u vody radične 10^2 molekúl.

Ak je molekula a celá jeho sféra molekulárneho pôsobenia vo vnútri kvapaliny, budú sa sily, ktorými molekuly v tejto sfére na uvažovanú molekulu pôsobiť, navzájom rušíť. / viď. obr. č. 1, sféra 1/. Naproti tomu sféra molekulárneho pôsobenia molekuly blízkej k povrchu bude zasahovať z časti do kvapaliny a z časti do prostredia nad kvapalinou, tvoreného obecne vzduchom a nasýtenými parami tejto kvapaliny. / obr. č. 1, sféra 2/.



obr. č. 1

Pretože koncentrácia molekuly v kvapaline značne prevýšuje koncentráciu molekúl plynu, bude v tomto prípade výsledná sila F nenulová a bude smerovať do kvapaliny kolmo k jeho povrchu. Z uvedených úvah vyplýva, že na každú molekulu kvapaliny, ktorej vzdialenosť od povrchu je menšia než polomer molekulárneho pôsobenia r_0 , pôsobi sila smerujúca dovnútra kvapaliny. Ak sčítame tieto dielčie sily pre všetky molekuly, ktoré sú v povrchovej vrstve jednotkovej sily, dostaneme tlak, ktorý povrchová vrstva kvapaliny vykonáva na ostatné kvapalinu. Tento tlak nazývame molekulárny tlakom.

3.4.2. Povrchové napätie /6/

Kvapaliny sa chovajú tak, ako by ich povrch bol pokrytý tenkou pružnou vrstvou, ktoré sa snaží stiahnuť povrch kvapaliny, aby mal čo najmenší plošný obsah. Keby na kvapalinu nepôsobili vonkajšie sily, zaujala by kvapalina guľový tvar, pretože guľa má zo všetkých telies rovnakého objemu najmenší povrch. Približne guľový objem kvapaliny sa vytvára výraznejšie avšak len vtedy, ak sú vonkajšie sily veľmi malé proti povrchovým silám.

Pretože povrchová vrstva sa snaží stiahnuť na najmenšiu velkosť, je v nej zrejme napätie, ktoré nazývame povrchovým napätiom σ ; definujeme ju ako silu, ktorá pôsobí kolmo na dĺžku myšleného rezu povrhom, delemú touto dĺžkou, a leží v rovine dotyčnice k povrchu vo vyšetrovanom mieste. Ak uvažujeme na povrchu kvapaliny úsečku dĺžky dl , potom dve časti povrchu, ktoré k nej z obidvoch strán priliehajú, na seba pôsobia v rovine povrchu a kolmo k úsečke dl sileu dF a plati

$$\sigma = \frac{dF}{dl}$$

Z fyzikálneho hľadiska má povrchové napätie tiež význam plesnej hustoty povrchovej energie. To znamená, že plošná hustota energie, t.j. čiselné povrchové energia plošnej jednotky, nazýva sa kapilárna konštantá.

Ak pezerujeme stykové miesto povrchu kvapaliny so stenou nádoby, zistujeme u rôznych kvapalin rôzne veľké zdvihnutie okraja alebo naopak jeho zníženie. Na okraji sa stýkajú tri prostredia, kvapalina 1, vzduch /alebo iný plyn/ 2, stena pevného telesa 3. Predpokladáme, že v tomto trojnom rozhraní pôsobí povrchové napätie, závisiaci na látkach jednotlivých prostredí / obr. č. 2a, 2b/.

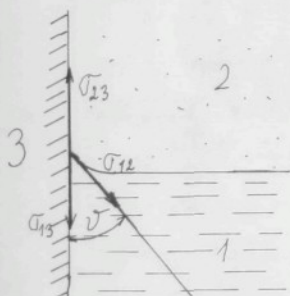
Pri rovnováhe musí platiť:

$$\sigma_{33} = \sigma_{13} + \sigma_{12} \cos \vartheta$$

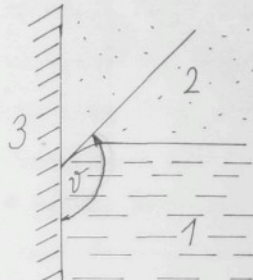
odkiaľ

$$\cos \vartheta = \frac{\sigma_{23} - \sigma_{13}}{\sigma_{12}}$$

uhol ϑ nazývame krajovým uhľom. Ak ide o styk vždy tých istých prostredí za rovnakých podmienok, je veľkosť tohto úhlu vždy rovnaká. Veľkosť krajového uhla závisí na rozdielu povrchového napäcia steny vzhľadom ku vzduchú a vzhľadom ku kvapaline. Tomuto rozdielu sa hovorí tiež adhezna konštantá.



obr. č. 2a



obr. č. 2b

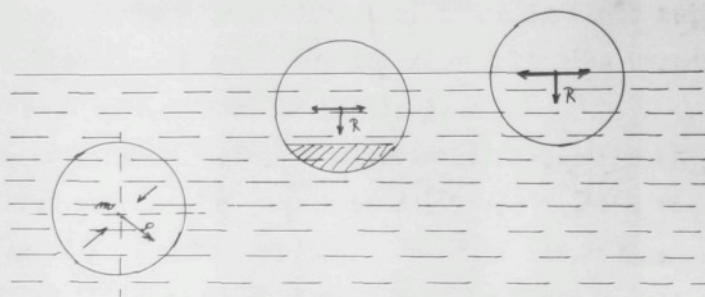
Ak je adhezna konštanta kladná, tak krajevý uhol je ostrý, kvapalina stenu zmáčka.

Z praktického hľadiska je veľmi dôležitý prípad, keď sa kvapalina stýka s vnútornou stenou v kapilári, t.j. úzkych trubiek. Javy ku ktorým v týchto prípadoch dochádzajú sú nazývané kapilarite, a prejavujú sa stúpaním alebo znížením hladiny kvapaliny v kapiláre. Vzhľadom k hladine kvapaliny v nádobe, do nej je kapilára ponorená.

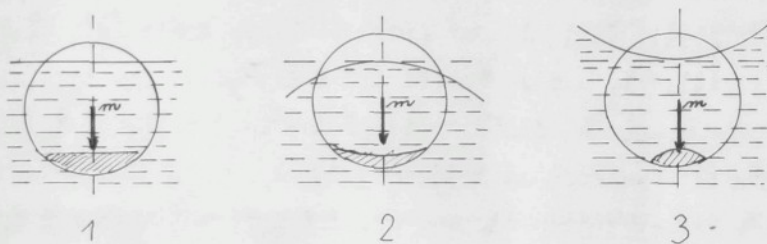
Hladina kvapaliny v úzkej trubici ponorené do kvapaliny nie je rovinatá, jej povrch sa zakrýva a tvorí tzv. meniskus / vrchlik/ hore buď vydutý / konkávny/ alebo vypuklý / konvektný/. Zároveň pozorujeme, že pri vydutom vrchliku vystúpi kvapalina vyššie, než je okolný vodorovný povrch kvapaliny, k tomuto javu hovoríme kapilárna elevácia. Ak je naproti tomu vrchlik nahorу vypuklý, stojí kvapalina v trubičke nižšie, než je okolná vodorovná hladina, vzniká kapilárna depresia. Kapilárna elevácia a depresia súvisí priamo so zákrytením povrchu kvapaliny pri ňom je zmena tlaku pri priechode povrchovým rozhraním iná než pri rovinnom povrchu. Pre molekulu m v rovnakej vzdialenosťi pred povrhom rovinom / 1/, konvektným / 2/ a konkávnym / 3/ je zložka molekulárnych sil kolmá k povrchu, ktorá na ňu pôsobí zo vnútra kvapaliny, väčší pri konveknom povrhku a naopak menší pri povrhku konkávnom než pri povrhku rovinom / obč. č. 3/.

V prvom prípade /obč. č. 4/ chýba v hornej časti sféry molekulárneho pôsobenia väčší počet molekúl, ktoré by vytvorili tak od molekúl v spodnej časti sféry, než pri rovinnom povrhku. V druhom prípade / 3/ / obr. č. 4/ je tomu práve naopak.

Pri zakrivení povrchu pôsobí tedy povrchová vrstva na kvapalinu tlakom, ktorý sa pričíta k tlaku, ktorým by vrstva pôsobila na kvapalinu pri rovinnom povrchu. Tlak pri rovinnom povrchu kvapaliny sme nazvali tlakom koheznym. Prídavný tlak, ktorý vzniká zakrivením povrchu nazýva sa kapilárny tlak.



obr. č. 3



obr. č. 4

Molekulárne sily v rovinnom a zakrivenom pevnom povrchu kvapaliny

3. 5. Návrh modelového priradenia savosti vzlinaním k frekvenčnej funkcií orientácie

V netkaných textiliach povrch vlákien určuje štruktúru. Tým teda aj kapilárne možnosti pre nasávanie vody. Obecne môžeme predpokladať, že v štruktúre existujú dva typy mikroštrukturálneho usporiadania vlákien a pojiva. A to :

1. " Všesmerová kapilarita "

2. " Smerovo orientovaná kapilarita "

V prvom prípade mikroštrukturálne útvary sú napr. prekrižené môžu tvoriť zhluky. Dá sa hovoriť aj o pojive v tomto prípade. Pojivo tvorí náhodné kvapky, ktoré dopádajú na vláknový materiál striekaním. Tu tiež nemôžeme rezprávať o nejakom presnom usporiadani týchto kvapiek.

Charakteristické je, že sila, ktorá "vytahuje" vodu je v každom smere rovnaká a nezávislá na orientáciu. V druhom prípade mikroštruktúry vedú kapilaritu v smere osi vlákna. Existuje aj tretí typ. Je to kombinácia 1. a 2.. Ak v danej textílii budeme uvažovať o týchto dvoch typev usporiadani, tak môžeme tvrdiť, že prvý typ prenesie rovnaké množstvo vody, druhý typ usporiadania prenesie smerovú závislosť, schopnosť " vytahovať " vodu závisle na orientácii.

Túto závislosť vyjadruje funkcia

$$f(\varphi) = f(\varphi) \cdot \cos \varphi \cdot d\varphi$$

$f(\varphi) d\varphi$ - počet vlákien

$\cos \varphi$ - vertikálna komponenta

Celková kapilárna sila, ktorá musí byť súčtom síl od prvého a druhého typu mikroštrukturálneho usporiadania.

$$P = \int_{-\frac{\pi}{2}}^{\frac{\pi}{2}} f(\varphi) \cdot \cos \varphi d\varphi$$

$f(\varphi)$ - frekvenčná funkcia

$$P = \int_{-\frac{\pi}{2}}^{\frac{\pi}{2}} \frac{1}{P} \frac{c \cdot \cos \varphi d\varphi}{c^2 - (c^2 - 1) \cos^2 \varphi}$$

Použijeme substitúciu

$$\varphi - \hat{\varphi} = \psi; \quad \varphi = \psi + \hat{\varphi}$$

$$d\varphi = d\psi$$

Dostaneme výraz

$$P = \int_{-\frac{\pi}{2} - \hat{\varphi}}^{\frac{\pi}{2} - \hat{\varphi}} \frac{1}{P} \frac{c \cdot \cos(\psi + \hat{\varphi})}{c^2 - (c^2 - 1) \cos^2 \psi} \cdot d\psi$$

Ďalšou substitúciou dostaneme

$$\int_{-\frac{\pi}{2} - \hat{\varphi}}^{\frac{\pi}{2} - \hat{\varphi}} \frac{1}{P} \frac{\cos(\psi + \hat{\varphi})}{c - c \left(\frac{c^2 - 1}{c^2} \right) \cos^2 \psi}$$

plynie

$$\frac{c^2 - 1}{c^2} = K^2$$

$$P = \frac{1}{Pc} \int_{-\frac{\pi}{2} - \hat{\varphi}}^{\frac{\pi}{2} - \hat{\varphi}} \frac{\cos(\psi + \hat{\varphi}) d\psi}{1 - K^2 \cos^2 \psi} = \frac{\cos \hat{\varphi}}{Pc} \int_{-\frac{\pi}{2} - \hat{\varphi}}^{\frac{\pi}{2} - \hat{\varphi}} \frac{\cos \psi d\psi}{1 - K^2 \cos^2 \psi}$$

$$- \frac{\sin \hat{\varphi}}{Pc} \int_{-\frac{\pi}{2} - \hat{\varphi}}^{\frac{\pi}{2} - \hat{\varphi}} \frac{\sin \psi d\psi}{1 - K^2 \cos^2 \psi}$$

Použijeme ďalšiu substitúciu

$$\sin \varphi = x; \quad \cos \varphi d\varphi = dx; \quad \cos \varphi = x, \quad -\sin \varphi d\varphi = dx$$

Dostaneme výraz

$$P = \frac{\cos \varphi}{\pi c} \int_{-\cos \varphi}^{\cos \varphi} \frac{dx}{1 - K^2(1-x^2)} + \frac{\sin \varphi}{\pi c} \int_{-\sin \varphi}^{\sin \varphi} \frac{dx}{1 - K^2x^2}$$

$$Kx = y$$

$$Kdx = dy$$

Ďalšiu úpravu

$$P = \frac{2c \cdot \cos \varphi \operatorname{arccos} [\cos \varphi \cdot \sqrt{c^2-1}]}{\pi \sqrt{c^2-1}} + \frac{\sin \varphi}{\pi c K} \int_{-K \sin \varphi}^{K \sin \varphi} \frac{dy}{1-y^2}$$

dostaneme výsledný vzťah

$$P = \frac{2c \cos \varphi \operatorname{arccos} [\cos \varphi \cdot \sqrt{c^2-1}]}{\pi \sqrt{c^2-1}} + \frac{2 \sin \varphi \operatorname{arctgh} [\sin \varphi \sqrt{\frac{c^2-1}{c}}]}{\pi \sqrt{c^2-1}}$$

3.6. Vyparovanie kvapalín, vplyv difuzie na vyparovanie

Dôležitou vlastnosťou kvapalín je ich vyparovanie, ktoré spočíva v unikani určitého počtu molekúl z kvapaliny do okolitého prostredia. Z praxe je známe, že napr. vyparovanie vody prebieha tým rýchlejšie, čím vyššia je teplota vody a okolitého vzduchu, čím je väčšie prúdenie vzduchu nad povrchom vody a čím menšia je relatívna vlhkosť tohto vzduchu.

Ako závisí množstvo molekúl, ktoré uniknú z plošnej jednotky povrchu kvapaliny za jednu sekundu do okolitého prostredia na absolutnej teplote kvapaliny, je možno teoreticky odvodiť. Výsledná rovnica

$$M = n \sqrt{\frac{kT}{2\pi m}} \cdot \bar{v} \frac{U_0}{kT} \quad /1/$$

Hodnota U_0 nie je pre všetky molekuly presne rovnaká, ale jej stredná hodnota je pre danú kvapalinu pri danej teplote určitá a dá sa zistiť meraním. Je nazývaná výparným teplom. Rovnica /1/ určuje závislosť počtu molekúl M , ktoré uniknú z jednotky povrchu kvapaliny za sekundu, na absolutnej teplote T kvapaliny. Je nutné podotknúť, že M počítané podľa /1/ pre určitú teplotu je vlastne maximálny počet molekúl, ktoré môžu za daných podmienok uniknúť z jednotkovej plochy kvapaliny, pretože vplyvom vlhkosti vzduchu a jeho prúdenia sa niektoré molekuly môžu sa do kvapaliny vrátiť. Rovnica /1/ platí vtedy v uvedenom vare len za predpokladu nulovej relatívnej vlhkosti vzduchu nad kvapalinou a za predpokladu, že všetky molekuly / ktorých je za jednu sekundu M / stačia byť odvodené napr. prúdením vzduchu z dosahu kvapaliny.

Ak budeme uvažovať, že relativna vlhkosť $\varphi [\%]$ je nenulová, potom za jednu sekundu opustí jednotkovú plochu vody sice M molekúl, avšak za tú istú dobu množstva $(\frac{\varphi}{100} \cdot M)$ molekúl vody, ktoré boli obsiahnuté vo vlhkom vzduchu, prejde naopak zo vzduchu do vody. Pri 100%-nej relatívnej vlhkosti vzduchu je tento počet vracajúcich sa molekúl práve rovný počtu molekúl, ktoré vodu opúštajú za tú istú dobu. V tomto prípade je voda dynamickej rovnováhe s nasýtenou parou obklopujúci jej povrch. Hmotnosť kvapalnej fáze zostáva konštantnou. V súhlase s touto úvahou môžeme teda rovnicu /1/ upraviť pre prípad, že vzduch má relativnu vlhkosť $\varphi [\%]$ na tvar

$$M = n \sqrt{\frac{kT}{2\pi m}} \cdot e^{-\frac{U_0}{kT}} \left(1 - \frac{\varphi}{100}\right) \quad /2/$$

Rovnica /2/ plati však za predpokladu, že molekuly vody, ktoré opustili kvapalinu, nezvyšujú relativnu vlhkosť okolitého vzduchu /1/.

Difuzia

Množstvo vody, ktoré sa v skutečnosti vypari z jednotkovej plochy kvapaliny za jednotku času, je však vždy menšie než množstvo udané vztahom /2/. Pri vyparovani sa totiž tesne pri povrchu kvapaliny vytvorí tenká vrstvička nasýtenej pary, ktorá len veľmi pomaly difunduje do okolitého vzduchu. Tento dej je bezprostredným dôsledkom tepelného molekulárneho pohybu a viedie k vyrovnávaniu hustoty vzduchu. Ak zavedieme difuzný tok i ako hmotnosť látky, ktorá pri difuzii prejde jednotkovou plochou za jednotku času, plati vztah

$$\dot{m} = -D \frac{dP}{dx}$$

v ňom $\frac{dP}{dx}$ značí gradient hustoty plynu. Konšstanta D je nazývaná koeficientom difuzie a závisí jednak na druhu difundujúceho plynu, jednak na jeho teplote.

3.7. Zaistovanie rovnomernosti vláknových produktov /51

Dôležitou úlohou teórie a praxe pradenia je odhalovať príčiny a určiť zákonitosťi vzniku nerovnomernosti v produktoch pradenia. Je totiž známe, že so zvýšenou nerovnomernosťou vláknových produktov sa zhoršujú vlastnosti a vonkajší vzhľad textilií. Obtiaže pri zaistovaní nerovnomernosti výrobkov pri spriadaní sú spôsobené hlavne nerovnomernosťou vláknových surovín.

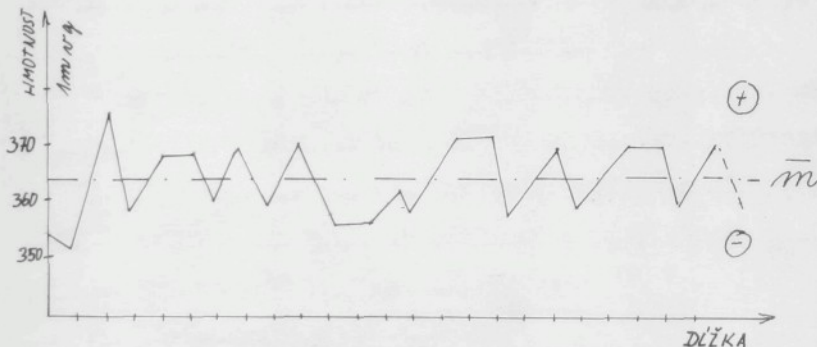
Samotné vláknové sureviny sú nerovnorodé a v pradiarňach sa musí často miešať vláknový materiál s rôznymi vlastnosťami. Môžeme miešať napr. rôzne druhy bavín, vlny s chemickou strižou. Vlna v rúnu je znečistená potným tukom, rastlinnými prímesmi a prachom. Vzhľad rúna svedčí o tom, že rúno ovčej vlny zložené z veľkého množstva snopkov vzájomne spojených. Spravidla čím jemnejšia vlna, tým pravidelnejšie snopky. Táto nerovnomernosť súvisí aj s touto diplomovou pracou. Dalo sa sledovať pri meraní savosti vzlinaním, že hranica výšky sania bola nerovnomerná. Na tejto hranici sa vytvorili mapy. Tieto mapy sa tiež dajú vysvetliť nerovnomernosťou vláknového materiálu. Na vláknovom materiale sa vytvárajú zhluky vláken, ktoré menej alebo viac prepúštajú vodu alebo vodnú paru.

Nerovnomernosť vláknových polotovarov je rôzna. Môžeme ju vyjadriť odchyilkou hmotnosti dĺžkových úsekov, kolisaním čísla jemnosti, pevnosti, počtu zákrutov na jednotku dĺžky a pod.. Podľa skúmaného znaku druhu vláknového produktu a priebehu odchyliek hodnôt môže byť nerovnomernosť:

1. štrukturálna
2. periodická

3. náhodilá
4. jednostranná
5. vnútorná
6. vonkajšia
7. celková

Struktuálna nerovnomernosť je spôsobená rôznym počtom a rodielnym druhom vlákien v jednotlivých priečnych prierezech produktu. Ďalej závisí na stupni napriamenia vlákien a ich vzájomnom dĺžkovom usporiadaní. Najčastejšie určujeme hmotnú nerovnomernosť rún, pramien a priadzí. Nerovnomernosť vláknového materiálu môžeme znázorniť graficky tak, že k dĺžkovým jednotkám na eze úsečiek vyznačíme príslušné hmotnosti stiahnuté na určitú dĺžku produktu. Hrúbka rúna a tým i hmotnosť jednotky dĺžky nie je konštantná. Ako ukazuje /obr.č.5/ kde sú vyznačené odchýlky v hmotnosti susedných dieľov i malé kolísanie hmotnosti \bar{m} v gramoch od priemernej hodnoty \bar{m} . Nerovnomerné rúno vzniká nedostatočnou prípravou vláknovej sureviny, odlišným prepracovaním a nepravidelným privádzaním vláknového materiálu do stroja, na ktorom sa rúno tverí.



obr.č.5

E X P E R I M E N T A L N A C A S T

4. Experimenty a ich výhodnotenie

4.1. Experimentálny materiál

Ako materiál pre prevedené experimenty bola použitá netkaná textília typu FLORAN. Ako pojivo bol aplikovaný DUVILAX BD20 zafarbený kontrastným farbivom / 2% estacetová modrá E-LG/. Fixácia bola prevedená lisovaním za tepla nasledujúcim kalandrovaním. Pre vytvorenie rôznych typov vzorkov bolo použité rúno:

1. viskoza z vlákien vlny o jemnosti 0,50 tex

2. viskoza z vlákien bavlny o jemnosti 0,155 tex

Dalšieho rozlišovania bolo dosiahnuté menovitým obsahom pojiva v netkanej textílii:

1. 10% Duvilaxu BD20

2. 20% Duvilaxu BD20

Pre zachytenie vplyvu spracovaním boli vzorky ďalej rozlišené použitím rôznych tlakov pri lisovaní:

1. $P_1 = 6864 \cdot 10^3 \text{ Pa}$ (70 aL)

2. $P_2 = 2942 \cdot 10^3 \text{ Pa}$ (30 aL)

tab.č.1

NT	FLORAN							
	VSs - vle typ		VSs - hra typ		10%		20%	
mat. rúna	obs. pojiva	10%	20%	10%	20%	10%	20%	10%
Kal. Člak		$6864 \cdot 10^3$ [Pa]	$2942 \cdot 10^3$ [Pa]	$6864 \cdot 10^3$ [Pa]	$2942 \cdot 10^3$ [Pa]	$6864 \cdot 10^3$ [Pa]	$2942 \cdot 10^3$ [Pa]	$6864 \cdot 10^3$ [Pa]
ozn. vzork.		C70	C30	D70	D30	A70	A30	B70

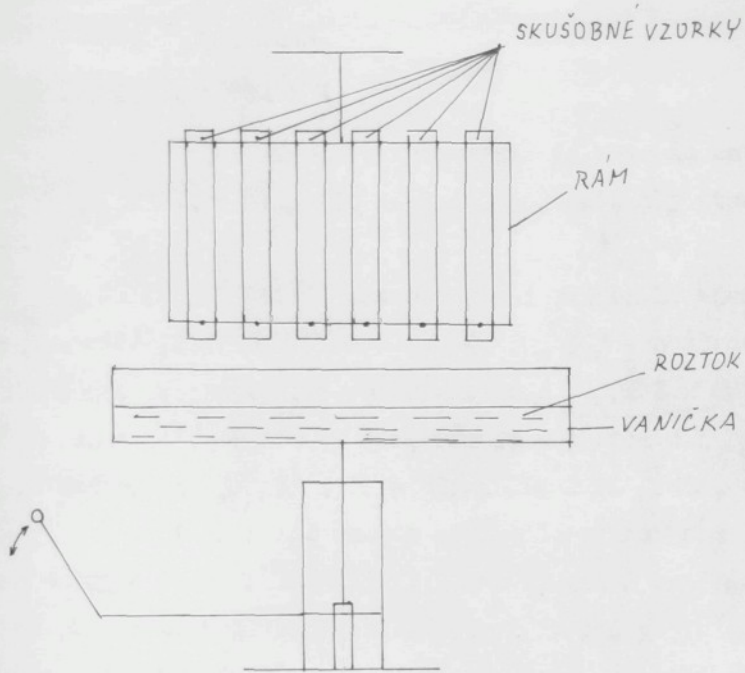
4.2. Prevedené meranie

4.2.1. Savosť vzlínaním

Na SVÚT sa v súčasnej dobe prevádzka meranie savosti plošných textilií, a to podľa nasledujúcej metodiky stanovené s normou ČSN 80 0828.

Z plošnej textilie sme vystrihli celkom 12 vzorkov o rozmeroch 200x10 mm v uhloch / 0, 30, 60, 90/ v obidvoch smeroch otáčania. Vzorky sa najprv klimatizujú podľa ČSN 80 0061 a potom sa upevnia na kovový rám, kde sú umiestnené ihly tak, aby prečnievali na jednej strane pod ihlou 2 mm / viď. obr.č.6/. Rám sa zavesí na nosné rameno a prečnievajúce konce vzorkov sa ponoria 2 mm do kvapaliny, ktorá sa nechá vzlínať do vzorkov 30 minút. Celé zariadenie je umiestnené v skrinke zplexiskla, jej predná stena je behom merania uzavretá. Po uplynutí stanovej doby vzlínania sa pomocou dĺžkového meradla s milimetrovým delením zmeria sacia výška kvapaliny v jednotlivých vzorkoch, pričom sa odpočítajú 2 mm dĺžky vzorku, ktoré boli ponorené do kvapaliny. Ak je hranica výšky sania nerovnomerná, zistí sa priemerná hodnota. Výsledkom skúšky je priemer 12 meraní, zvlášť pre všetky smery. Ako skúšobná kvapalina bola použitá VIKTORIARUBÍN 0.

Stoute metódeou namerané hodnoty sa nachádzajú v tabulkách č. 2-5.



obr. č. 6

tab. č. 2
 pričený
smer

M	k. mat.	j	pozdižný smer	30°	60°	pričený smer	k. mat.	pozdižný smer	30°	60°	pričený smer
	1	14,5	15,1	12,9	13,2		15,6	14,1	13,5	12,9	
	2	14,6	13,9	13,7	12,7		15,5	14,2	13,6	13,4	
	3	15,0	14,9	13,7	12,9		15,9	14,3	13,4	12,8	
	4	14,9	13,8	13,6	13,0		15,8	14,8	13,2	12,6	
	5	14,9	14,4	12,9	12,8		15,8	14,9	13,5	13,4	
	6	15,0	14,3	13,2	12,7		16,1	15,3	13,6	12,9	
A70	7	15,1	14,9	14,9	13,1		15,9	13,6	12,7	13,2	
	8	15,4	14,4	14,4	12,6		15,8	14,5	12,6	13,0	
	9	14,9	14,9	14,9	12,9		15,4	14,3	12,6	13,3	
	10	15,0	14,6	14,6	12,7		15,7	14,4	12,9	13,0	
	11	15,6	15,0	15,0	13,0		15,6	14,6	13,9	13,1	
	12	15,1	14,8	14,8	12,9		15,6	14,6	13,8	13,3	
	—X	15,0	14,6	13,3	12,9		15,7	14,4	13,4	13,0	
	$\sum X$	0,081	0,161	0,108	0,033		0,038	0,205	0,189	0,063	

tab. č. 3

M	č. mat.	j	pozdižný smer.	30°	60°	priečny smer.	č. mat.	pozdižný smer.	30°	60°	priečny smer.
	1	16,0	14,0	13,8	11,9		17,5	15,3	15,9	15,9	15,3
	2	16,1	14,1	14,6	12,8		17,1	16,0	15,4	15,4	15,0
	3	16,5	14,5	14,8	13,5		17,8	15,6	15,1	15,1	15,2
	4	16,7	14,3	14,9	13,9		17,6	16,1	15,7	15,7	15,0
	5	17,2	15,0	13,5	13,8		17,5	16,3	15,6	15,6	15,6
	6	17,2	15,0	14,5	14,2		17,7	16,0	14,9	14,9	15,7
	7	16,1	16,2	14,4	11,3		17,5	16,4	15,5	15,5	14,5
	8	15,6	15,6	14,2	13,3		17,4	16,2	15,9	15,9	15,0
	9	16,0	15,4	13,4	13,7		17,4	16,0	15,7	15,7	14,9
	10	15,9	15,5	14,8	13,1		17,3	16,3	15,8	15,8	15,0
	11	15,8	15,4	13,9	14,1		17,4	16,0	15,2	15,2	15,3
	12	16,3	16,3	15,0	11,6		17,5	16,5	15,0	15,0	15,5
	\bar{x}	16,3	15,1	14,3	12,2		17,5	16,1	15,5	15,5	15,2
	S_x	0,270	0,189	0,33	1,151		0,033	0,088	0,134	0,113	

tab. č. 4

M	č. mat.	j	pozdižiny smer.	30°	60°	pričetny smer	č. mat. pozdižiny smer	30°	60°	pričetny smer
	1	9,1	9,1	8,5	8,5		10,0	9,5	8,6	8,0
	2	9,7	9,0	8,6	7,7		10,4	9,3	7,9	7,4
	3	8,4	9,4	8,7	7,5		9,0	9,0	8,4	6,4
	4	10,6	9,2	8,0	8,1		10,4	8,7	7,6	7,0
	5	10,0	9,3	8,8	7,6		9,8	9,6	8,0	7,3
	6	10,5	9,0	8,5	7,5		10,8	9,0	8,5	7,9
O30	7	10,2	9,4	8,6	8,0		10,7	9,6	9,5	8,0
	8	8,2	9,2	9,0	8,4		9,8	8,9	9,3	7,8
	9	9,9	9,0	8,5	7,5		10,0	10,0	8,5	7,1
	10	10,0	9,2	8,5	7,6		10,5	9,8	8,0	7,8
	11	9,5	9,6	8,4	8,2		9,5	9,1	8,2	7,9
	12	9,6	9,4	8,2	8,1		10,5	8,6	7,4	7,7
	X	9,6	9,2	8,5	7,8		10,1	9,2	8,3	7,5
	C _x	0,566	0,044	0,073	0,116		0,283	0,188	0,396	0,245

- 1

tab. č. 15

M	č. mat.	j	pozdĺžny smer.	30°	60°	priečny smer	č. pozdĺžny mat.	pozdĺžny smer.	30°	60°	priečny smer
	1	11,6	11,5	10,0	9,9		11,7	11,4	10,6	10,6	
	2	11,5	11,6	10,5	10,0		11,2	10,9	10,3	10,0	
	3	11,7	11,0	10,6	9,6		11,4	10,7	10,1	9,8	
	4	11,6	11,1	10,8	10,5		11,0	10,3	10,3	10,1	
	5	12,0	11,2	10,4	10,1		11,4	11,6	9,9	10,3	
	6	11,1	11,8	10,6	10,0		11,7	11,1	9,8	9,8	
D30	7	12,2	11,4	10,3	10,0		11,5	10,3	9,6	10,0	
	8	11,5	11,2	10,1	9,8		11,8	10,4	9,7	9,8	
	9	11,6	11,7	9,7	10,0		11,6	10,5	10,0	8,8	
	10	11,5	11,9	10,6	9,8		11,7	10,5	9,6	9,8	
	11	11,9	11,5	10,4	9,7		11,8	10,2	9,3	9,6	
	12	12,0	11,4	10,5	9,8		11,2	10,9	10,1	9,7	
	\bar{X}	11,7	11,4	10,4	9,9		11,4	10,7	9,9	9,9	
	C_x	0,088	0,080	0,091	0,053		0,078	0,141	0,086	0,188	

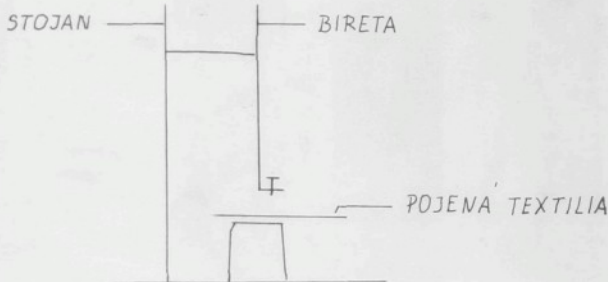
- TA

4.2.2. Matóda kvapiek

Ako materiál pre realizáciu tejto metódy boli použité pásky vzorkov z netkanej textílie typu FLORAN, kde pojivom DUVILAX bola spojená vláknitá vrstva, vytvorená na mykacom stroji z vlákien bavlny / vzorky typu A1, A2, B1, B2 viď schéma oddiel 4.1./.

Popis metódy

Počia dole uvedeného nákresu / č.obr.7/ bolo na jednotlivé pásky vzorkov postupne nakvapané po 10 kvapkách červeného farbiva Viktoriarubín 0. Konštantná veľkosť kvapiek zaistovala jednak stála vzdialenosť medzi vzorkami a biretu, jednak stále nastavenie výtokového ventilu. Naviac vzhľadom ku gravitačným pomerom bol po každých 10 kvapkách dopĺňovaný stípec kvaliny v birete. (príloha č.1)



obr.č.7

Vzorky takto nakvapané farbivom boli sušené a pre zaostrenie kontúr vzhľadom k ďalšiemu spracovaniu boli napustené metylsalicylátom. Aby bolo možné vyhodnocovať tieto vzorky

na počítači boli ďalej spracované digitalizačnou metódou na zariadení Digimet. Princíp metódy aplikovaný týmto zariadením pozostával postupným zaznamenávaním čiselných súradníč jednotlivých bodov v plošnom útvare a ich zápisu formou diernej pásky, ktorá je potom ďalej prekladaná k vyhodnoteniu počítači HEWLETT - PACKARD 98 10A. Jedná sa o priamu metódu, vzorek /plošný útvar/ je sledovaný pod mikroskopom.

Postup prevádzzaného merania

1. Nastavenie preparátu, kontrola smeru os
2. Zapnutie zásuviek
3. Pri vypnutom stave sa nastaví
 - stlačí sa vypínač ST0
 - stlačí sa vypínač RESOFF
 - stlačí sa vypínač DISP
 - stlačí sa vypínač 3/4
 - nastaví sa prepínač do polohy x + y
 - nastaví sa prepínač TIME na 1 rysku za 1
4. Zapnutie centrálnej jednotky
5. Zapnutie podávania pásky pomocou páky
6. Zapnutie dierovača
7. Nastavenie optického kríža cca 1 cm v smere x a y
8. Pridŕžanie v tejto polohe a stlačí sa tlačítko RESSET - vypínač ST0 do polohy von
9. Nastavenie 1/4 krivky
10. Umiestnenie optického kríža na priesečník rysky na okraji kvapky

11. Stisknutie tlačítka START
12. Počká sa na prvé vydierovanie a postupné obchádzanie 1/4 obvodu až do posledného bodu
13. Stlačenie tlačítka START - STOP - vypnutie dierovania
14. Umiestnenie optického kríža do ľavej dolnej polohy
15. Stlačenie tlačítka START - a počká sa na prvé vydierovanie
16. Nastavenie ďalšej časti obvodu, obchádzanie druhej 1/4 obvodu sa začína v tom istom bode, kde sa prvý skončil

4.3. Vyhodnotenie nameraných hodnôt

4.3.1. Vyhodnotenie savostí vzlínaním

Pomocou experimentov sa zistilo, že savosť vzlínaním je väčšia v pzdĺžnom smere než priečnom./ viď graf č.1-12/. Pokles javí náznak S krivky / v kap. 3.4.- návrh cos integrálu/. Tento pokles nie je veľký. Dôležitú úlohu hrá všesmerová komponenta. Pozorovateľný trend vykazuje pojivo. So zvyšovaním obsahu pojiva rastie aj savosť vzlínaním. To môže byť spôsobené hydrofilnosťou pojiva.

Z tabuľky č.6 je pozorovateľné, že jemné vlákna sajú viačej vody než hrubé. Zvlášť vlákna vyskytujúce sa na povrchu textílie výrazne savosť ovplyvňujú. Prítlač, ktorý bol použitý pri lisovaní, okrem varianty B₇₀ sa výrazne neprejavuje. Varianta B₇₀ je anomálnym typom merania.

Pre určenie konštant K₁, K₂ bola použitá metóda lineárnej regresie ako odpovedajúci matematickému vyjadreniu s použitím integrácie tvaru, do ktorého boli dosadené hodnoty c, pre viskozu z vlákien bavlny 1,6 a pre viskozu z vlákien vlny 1,8. Tieto hodnoty zistil B. Kubú vo svojej diplomovej práci, ktorá bola spracovaná paralerne s touto diplomovou prácou. Lineárna regresia bola prevedená na počítači HEWLETT - PACKARD 98 10A s príslušnými periferiami. Zistené hodnoty sú v tabuľkách spoľu s konštantami K₁ a K₂ / č.tab.6/.

Hodnota K₁ a K₂ sa pohybuje v intervaloch asi / 0,83 -0,93/. Táto úroveň ukazuje na významnú závislosť sledovaného typu. Z posúdenia priemerných hodnôt u jednotlivých vzorkov je zrejmé, že výnimkou skupiny B₇₀ boli dosiahnuté približne rovnaké hodnoty. Avšak v rámci jednoho typu suroviny zvýšenie % pojiva s cca

10% na cca 20% / z A do B resp. C do D/, spôsobuje zvýšenie meranej výšky, bez ohľadu na materiál približne o 2 cm. To viedie k úvahе, že pojivo "vytahuje" vodu tak, že každými 10% -ami zvyšuje výšku asi o 2 cm. Pretože pojivo nemá vláknotý charakter a v štruktúre textílie prevažuje bodoveanglo-meračné usporiadanie pojiva, je možné predpokladať, že vytahuje vodu rovnako, nezávisle na smere. Preto súčasťou k₂ je teda vplyv pojiva.

$$k_2 = a \cdot L$$

L - je % pojiva, a v konštante a je zahrnutá adhézna schopnosť pojiva k vode i stránky jeho geometrie v textílii. Na konštantu k₂ nemá vplyv len to pojivo, ale aj vláknový materiál. Vláknový materiál môže tvoriť mikroštrukturálne tvary, ktoré sú schopné "vytiahnúť" vodu vo všetkých smerech. Jedná sa pravdepodobne o zhluky vláknových segmentov. Aj množstvo bude závisieť na jemnosti - čím vyššia jemnosť, tým sú väčšie zhluky.

Ak uvážime, že textílie u hrubých vlákien sú do istej miery geometrické, môžeme v hrubom priblížení uvažovať v textílii hrubých vlákien, dĺžky zväčšené v pomere \sqrt{Teor} .

Pretože objem $\sqrt[3]{dĺžky}$ mal by byť počet zhlukov nepriamo úmerný $(\sqrt[3]{Teor})^3 = Teor^{1,5}$. Preto je užitočné uviesť k₂ a výraz

$$k_2 = a \cdot L + \frac{b}{Teor^2}$$

pričom je možné očakávať, že konštantu R by sa nemala moc lísiť od 1,5. Konštantu b vyjadruje charakter vláknového materiálu a jeho sklon k štrukturálnym zhlukom.

Dospievame vtedy k návrhu výpočtu k₂ - vyjadruje zložky, ktoré nie sú závislé na smere. Poliaľ sa týka tej stránky vzlietania, ktorá je spôsobená vystupovaním vody po krivkách vlák-

nových segmentov, t.j. pokiaľ sa týka orientovanej komponenty je jeho veľkosť určená konštantou k_1 . V rámci rovnakého materiálu i z rovnakej plošnej hmotnosti je možné z hruba predpokladať jeho nezávislosť na sledovaných argumentoch.

Teda približný predpoklad k_1 = konšt. a

$$k_2 = a \cdot L + \frac{b}{Tee^x}$$

Celková výška vzlinania h môže byť napísaná do tvaru:

$$h = a \cdot L + \frac{b}{Tee^x} + k_1 \cdot x \quad \text{i kde}$$

x - hodnota integrálu za použitia správneho koef. c prislúchajúce k orientácii danej štruktúry.

Lineárnu regresiu boli konštanty nájdené tak, že pre súbor prevedených experimentov je možné predchádzajúci vzorec napísať do tvaru:

$$h = 0,19 \cdot L + \frac{0,5}{Tee^{0,55}} + 9,2x$$

Pričom konštanta c, nutná pre výpočet x, je v súlade s výsledkami B.Kubu. Pre vláknový materiál z bavlny je to 1,6 a pre vlnený materiál 1,8.

V nasledujúcej tabuľke /č.tab.7/ sú uvedené hodnoty k_1 a k_2 vypočítané podľa vyššie uvedených vzorcov a porovnané s hodnotami nájdenými lineárnu regresiou pre každý vzorok samostatne. V tej istej tabuľke sú porovnané a vypočítané a namerané priemerné výšky vzlinania. Hodnota x sa pohybuje v rozmedzí 0,5 - 0,75 / u obidvoch materiálov približne/ v závislosti na uhlu. Priemerná hodnota je v obidvoch prípadoch asi 0,63. Táto hodnota bola použitá pre výpočet priemernej výšky.

Súhrne sa dá konštatovať, že výnimkou vzorku B₇₀ je navrhnutý výpočet prijateľnou approximáciou experimentálnych výsledkov. Varianta B₇₀ je pravdepodobne posunutá preto, že bola vzatá z atypického miesta.

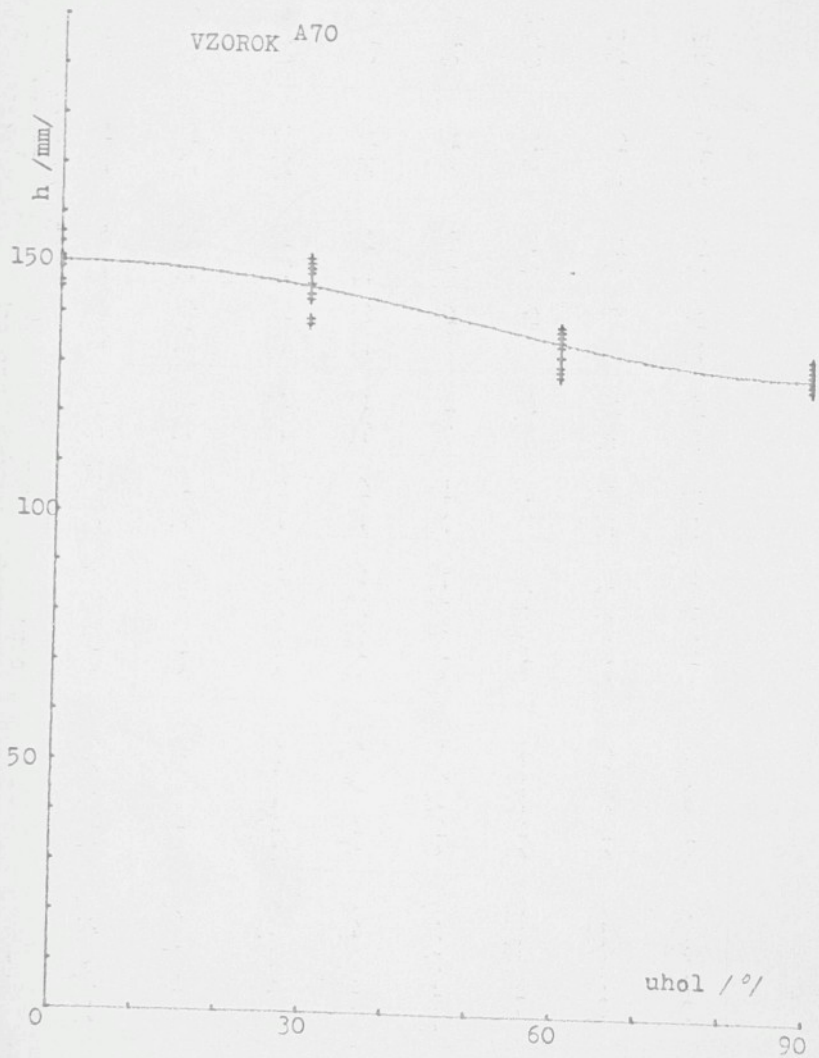
tabuľka č.7

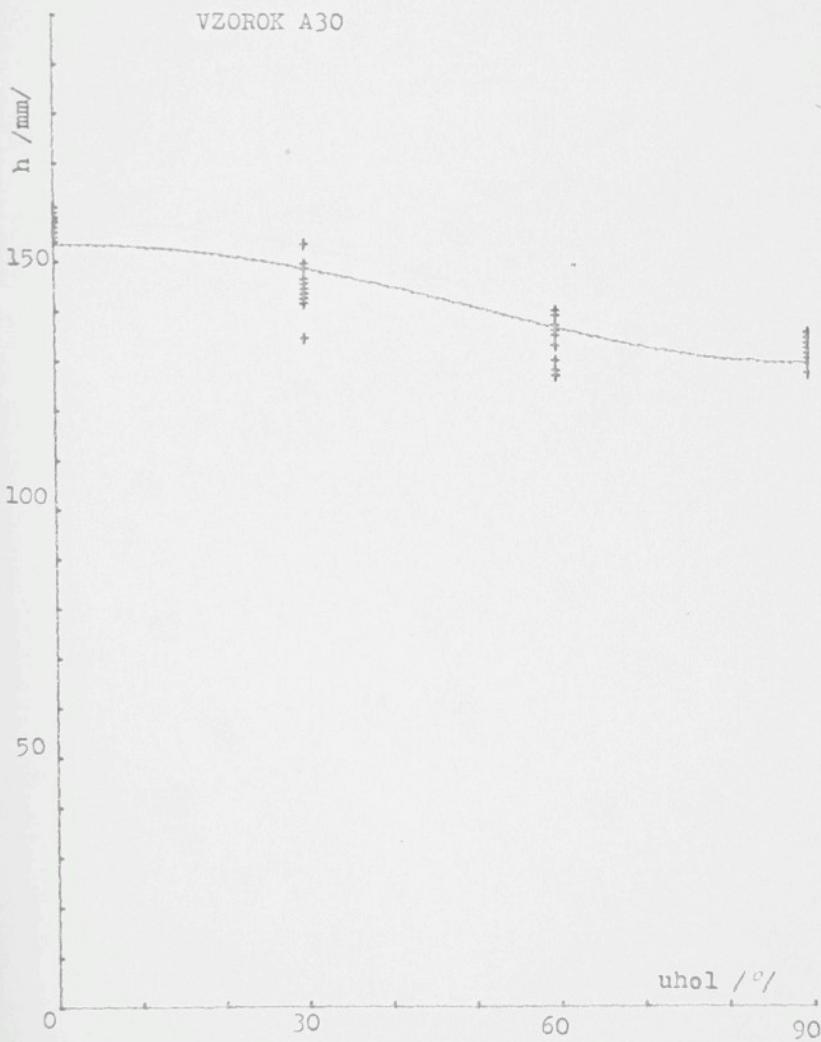
M	L/%/	Pk	Vk	Ok	Pk+Vk+ Ok	k1	k2
A ₃₀	11,0	2,09	6,19	5,8	14,08	9,2	8,28
A ₇₀	11,0	2,09	6,19	5,8	14,08	9,2	8,28
B ₃₀	20,3	3,86	6,19	5,8	15,85	9,2	10,05
B ₇₀	20,3	3,86	6,19	5,8	15,85	9,2	10,05
C ₃₀	9,1	1,73	1,28	5,8	8,81	9,2	3,01
C ₇₀	9,1	1,73	1,28	5,8	8,81	9,2	3,01
D ₃₀	18,0	3,42	1,28	5,8	10,5	9,2	4,70
D ₇₀	18,0	3,42	1,28	5,8	10,5	9,2	4,70

tab. č. 6

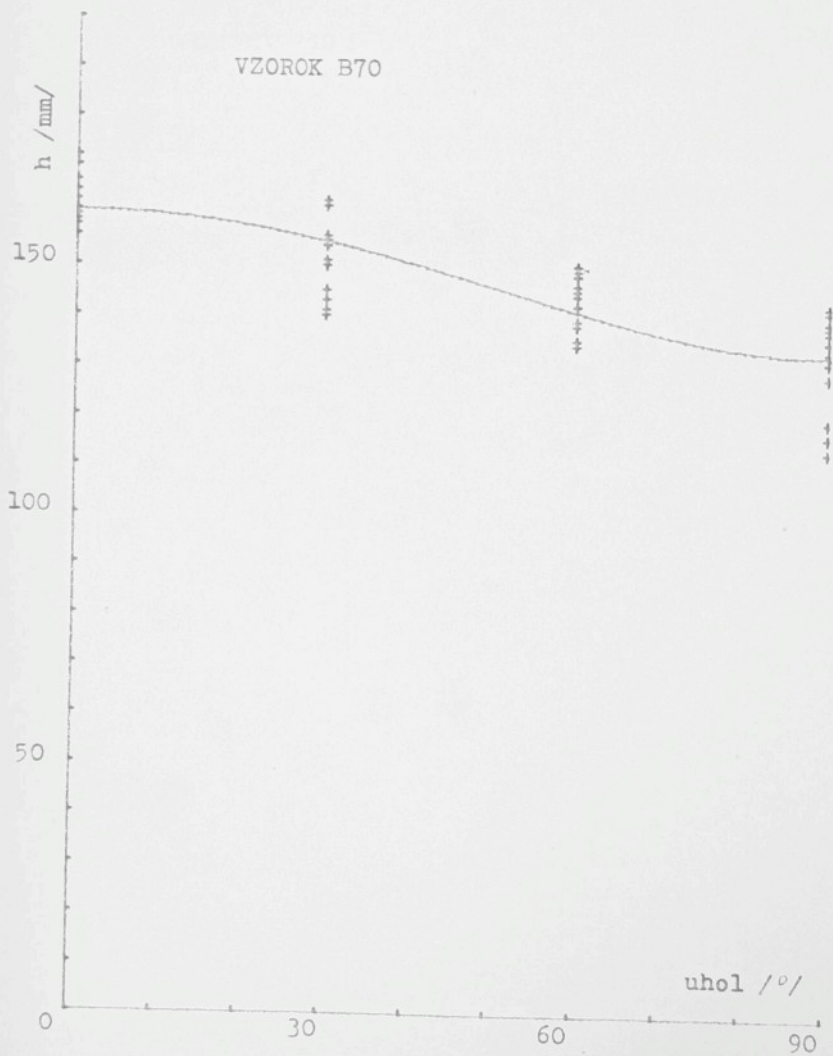
M	č. mat.	KL	K2	korelačný koef.	Merané priemery	Celkový priemier.	t	g	L
					pozdĺž smer	60° smer	vzorkov.	m ² /	%/
A ₃₀	10,406528	7,516343	0,899344	15,17	14,4	13,4	13,0	14,1	0,22
A ₇₀	8,967952	8,262954	0,938845	15,0	14,6	13,3	12,9	14,0	0,23
B ₃₀	8,381705	10,722633	0,863758	17,5	16,1	15,5	15,2	16,1	0,24
B ₇₀	11,777136	7,227463	0,835939	16,3	15,1	14,3	13,2	14,7	0,23
C ₃₀	12,297968	0,974548	0,877717	10,1	9,2	8,3	7,5	8,8	0,27
C ₇₀	8,666199	3,311608	0,843236	9,6	9,2	8,5	7,8	8,8	0,27
D ₃₀	7,929819	5,452475	0,829442	11,4	10,7	9,9	9,9	10,5	0,21
D ₇₀	9,313189	4,940046	0,933722	11,7	11,4	10,4	9,9	10,9	0,21
Vl. - t _{fj}									

GRAF Č 1

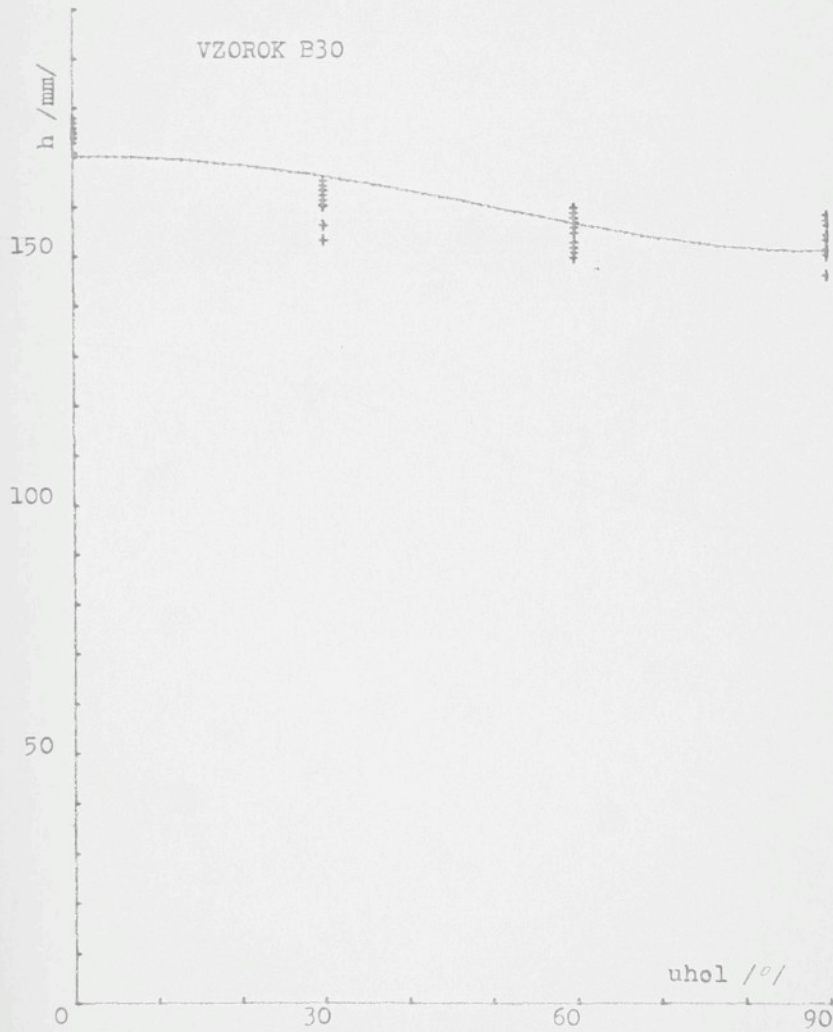




GRAF Č. 3



GRAF Č 4

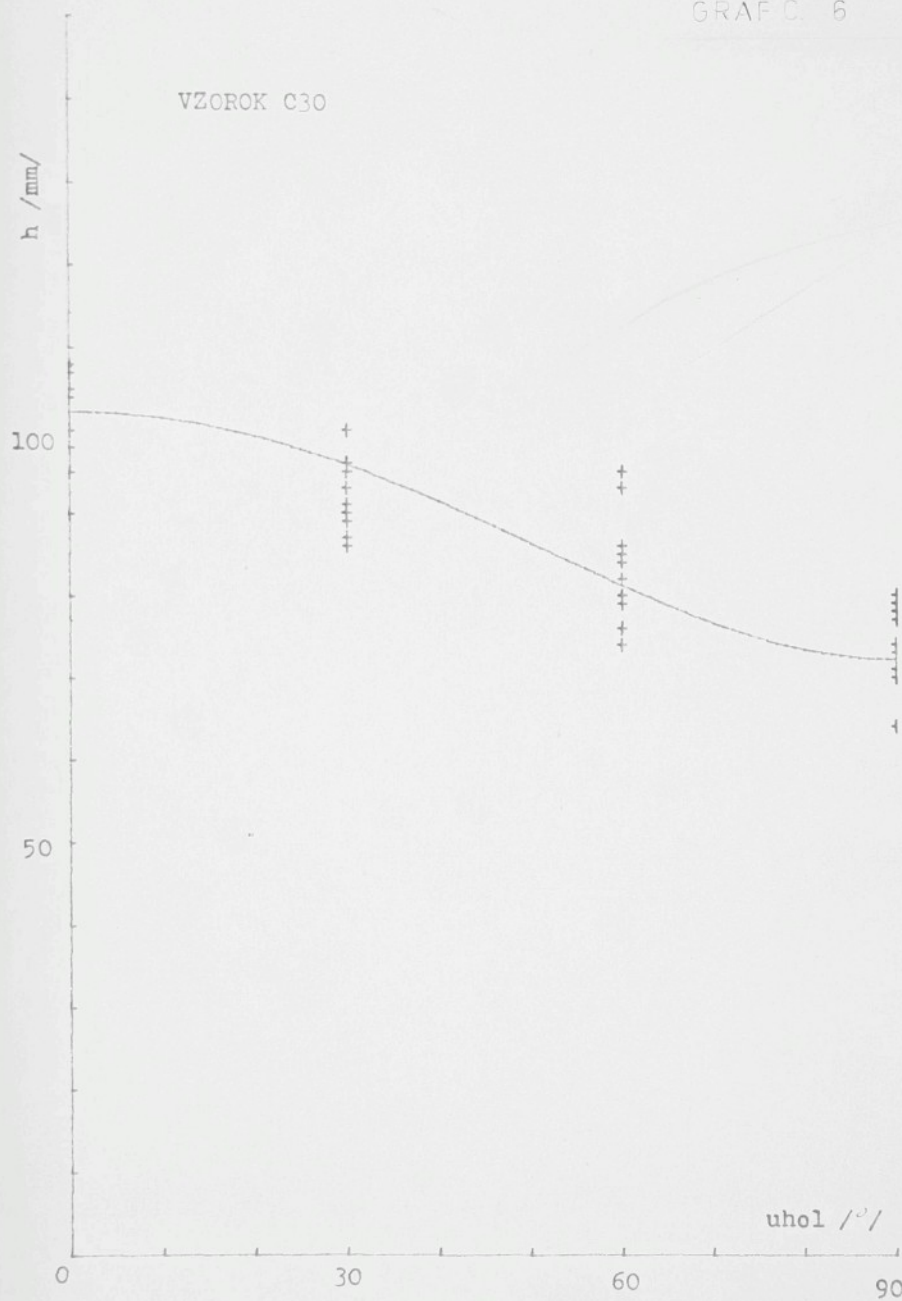


GRAF Č 5



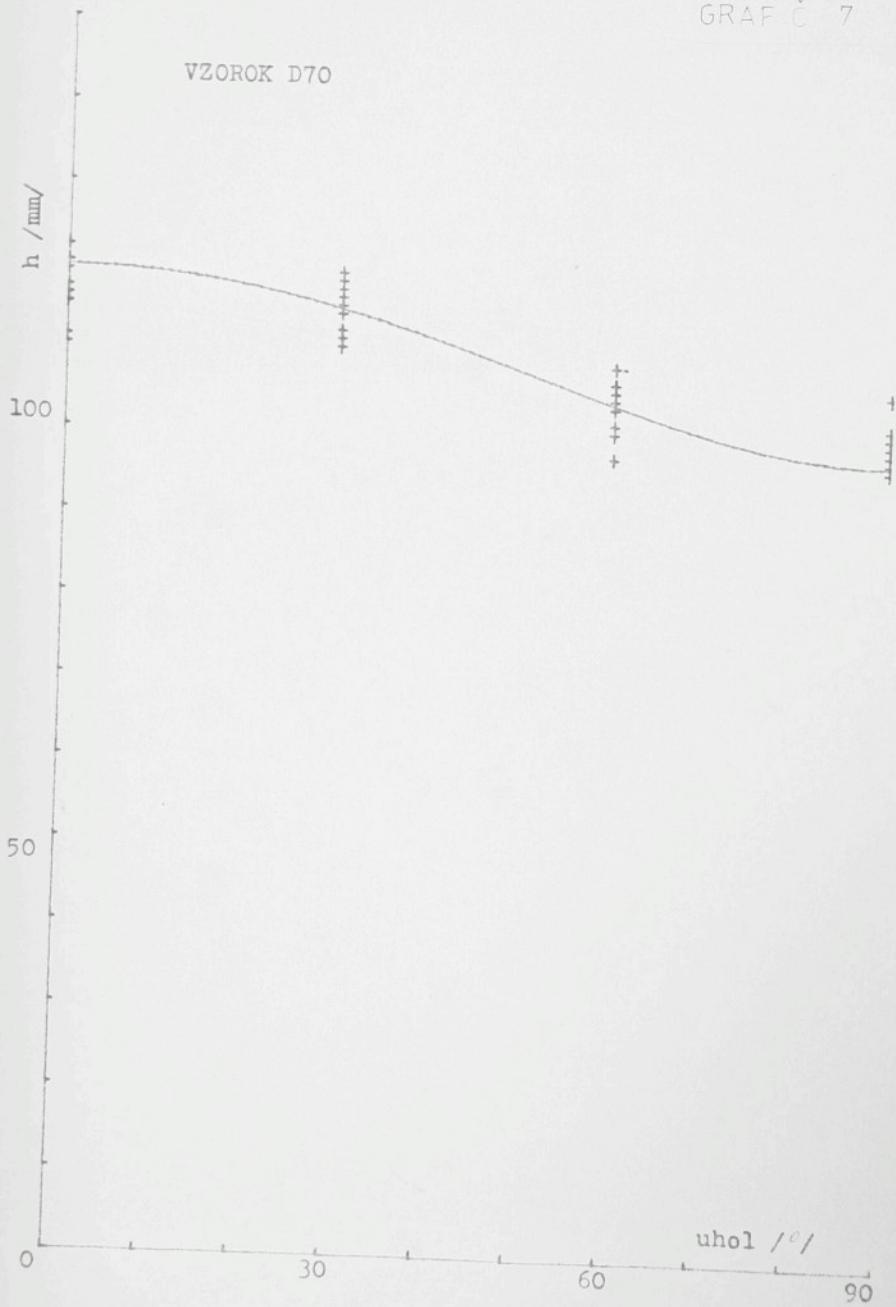
GRAF Č. 6

VZORKO C30



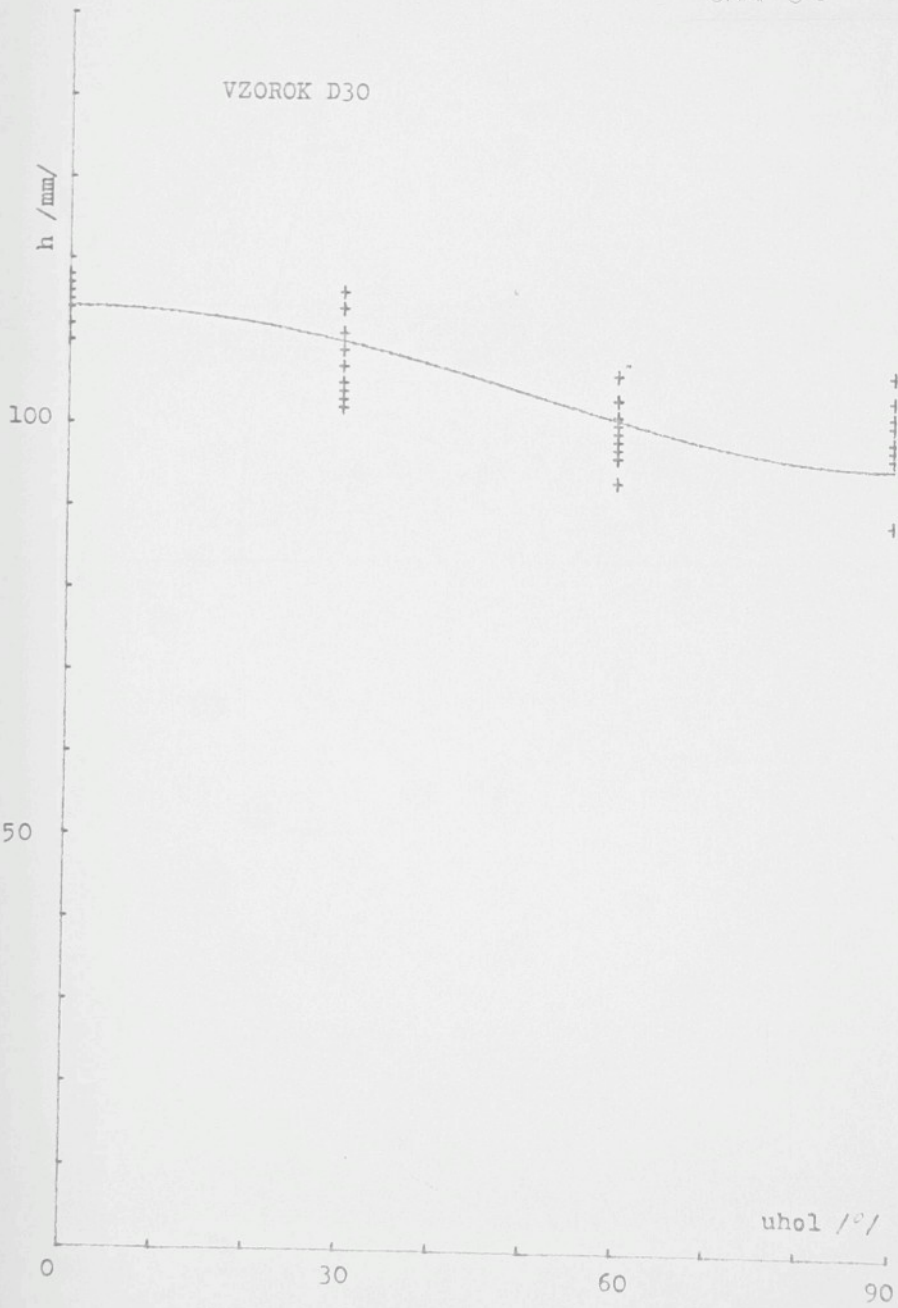
GRAF Č. 7

VZORKA D70



GRAF Č 8

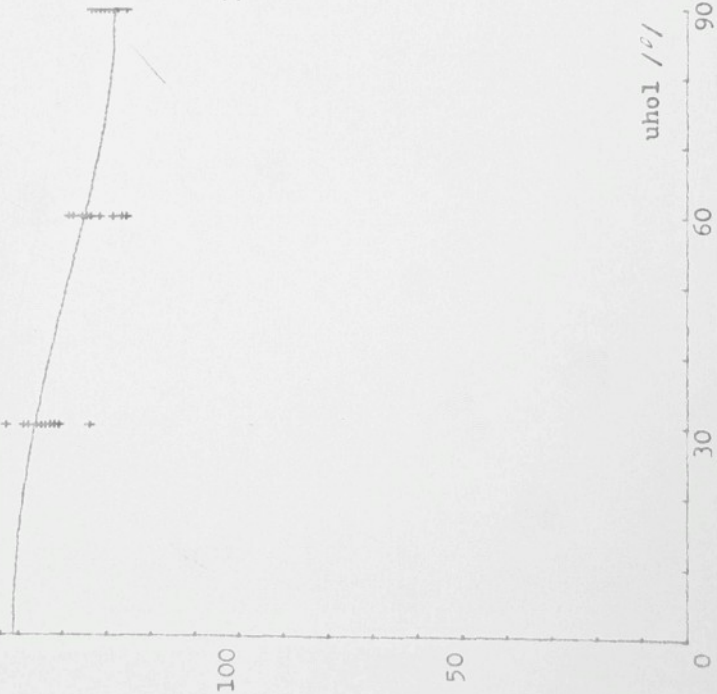
VZORKO D30



GRAF Č 9

VZORKA 70

h / m

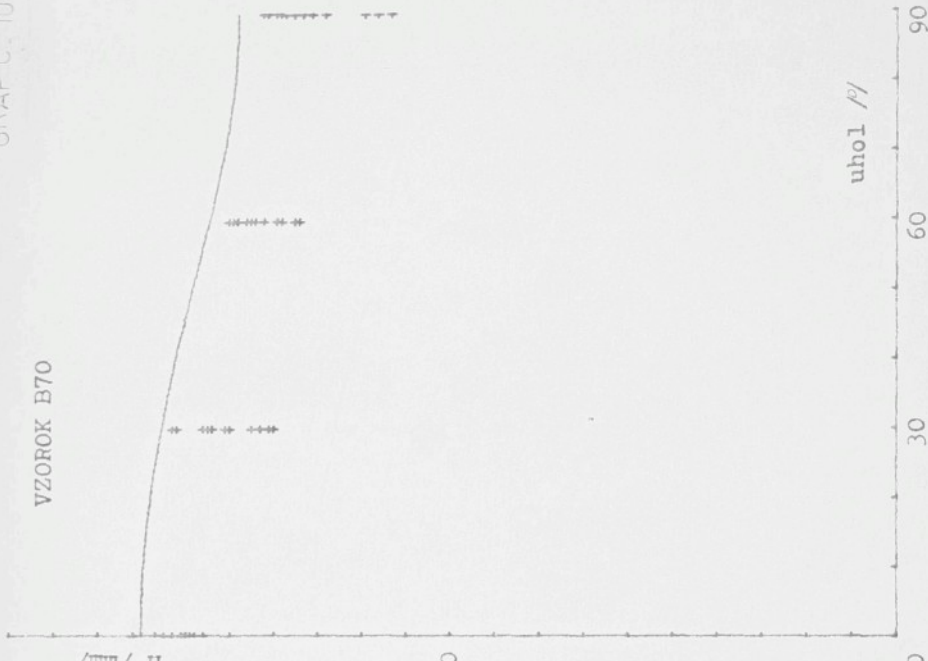


VZORKA 30

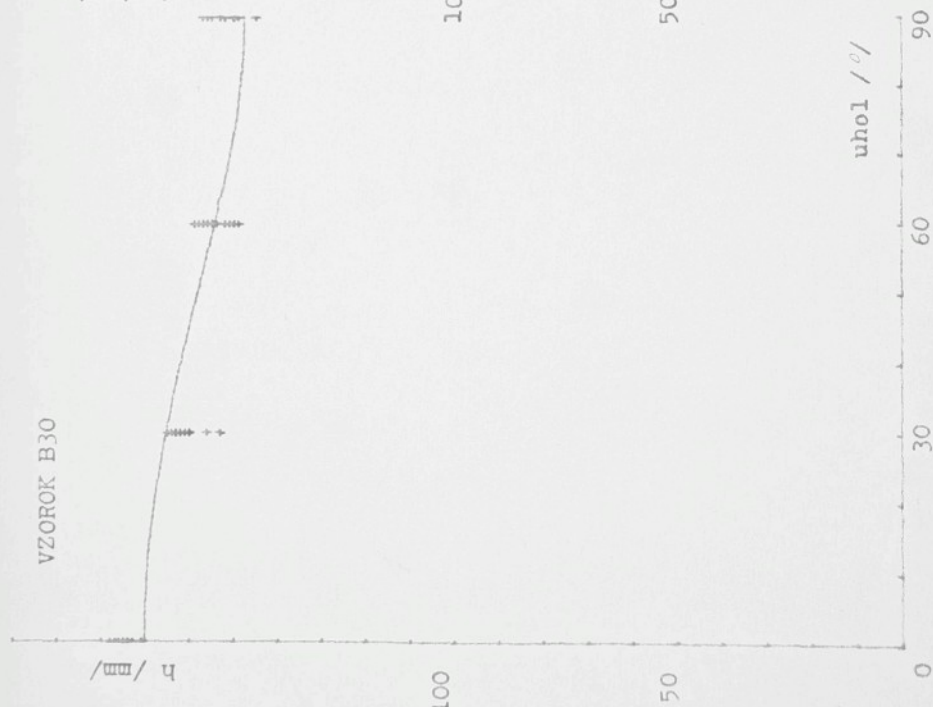
h / m

GRAF Č. 10

VZORK B70



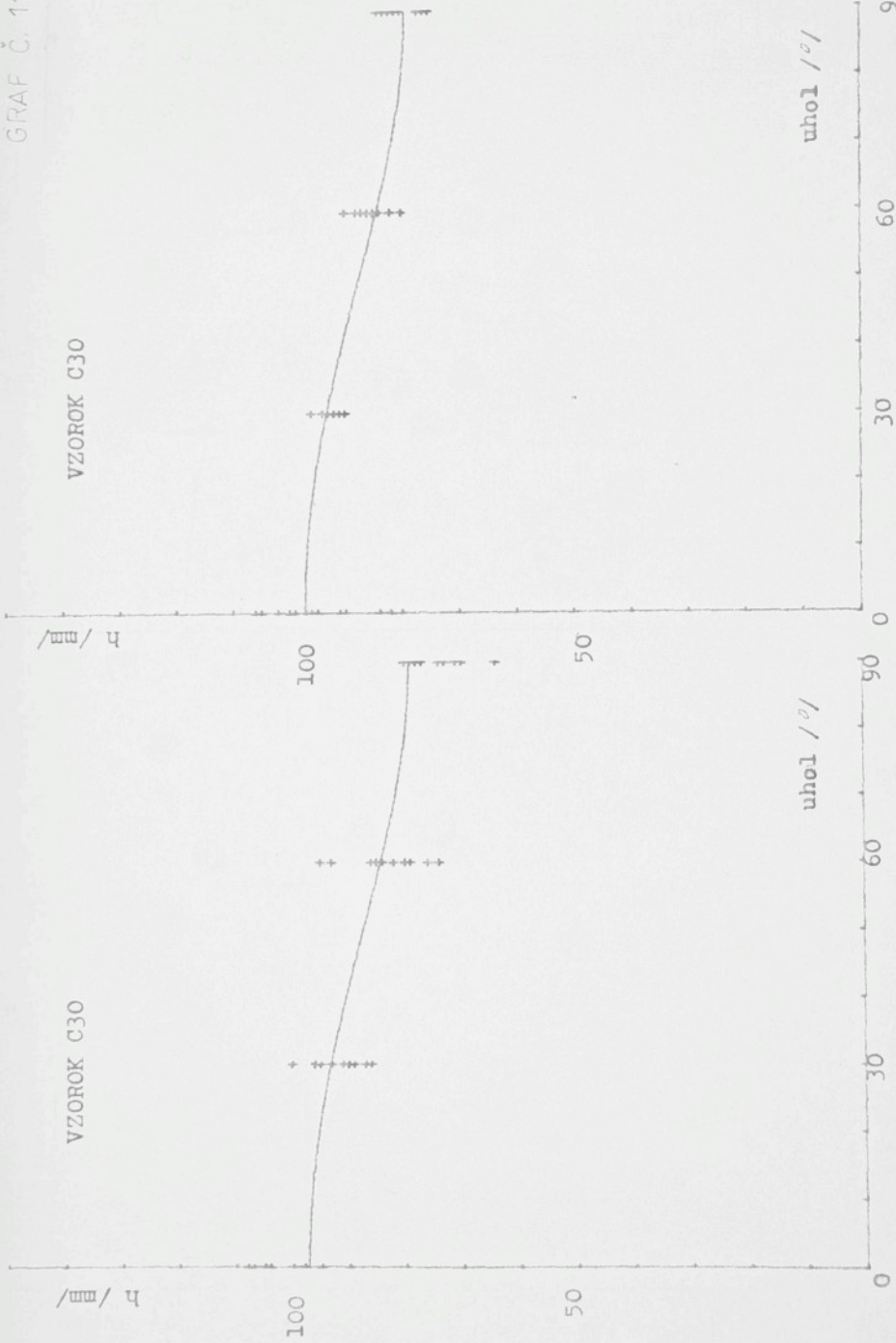
VZORK B30



GRAF C. 11

VZOROK C30

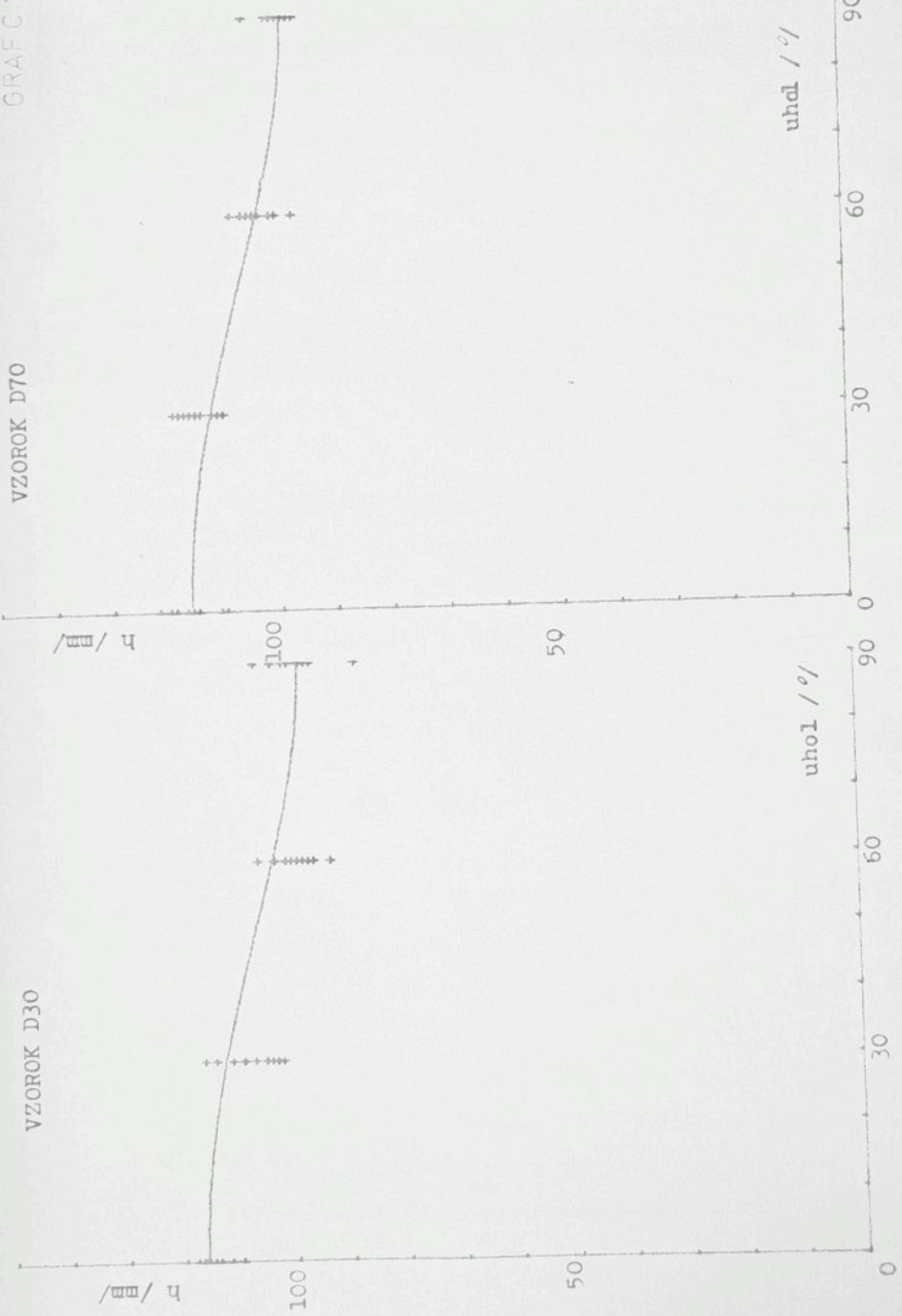
VZOROK C30



VZORKA D30

VZORKA D70

GRAF C 12



4.3.2. Vyhodnotenie kvapkových experimentov

Zo získaných grafov č. grafu 13 môžeme sledovať klesajúci priebeh, kde všetky štyri grafy sa skryli dohromady, a je v rozporu rozdielom medzi skupinou A a B v súčasti vzlinaním, kde B skupine sú dosiahnuté vyššie hodnoty než A skupine o 13%.

Na grafoch, ktoré sme získali z hodnôt kvapkovej metódy, tento jav sa nedal pozorovať. Naproti tomu vzorky sa moc nelišia v zaplnení μ , alebo presnejšie v jeho doplnku $(1-\mu)$ so vzduchom. Nelišia sa moc ani v nameranej hrúbke, ktorá bola zistená v SVÚT.

Na všetky vzorky boli kvapané kvapky rovnakým spôsobom. Meraním bola zistená hmotnosť kvapky zo 100 kvapiek a prepočítaná na $40,7 \text{ mm}^3$. Okrem toho boli vyhodnotené priemerné plochy a zistené jeho hodnoty. / viď tab. č. 9/. Je možné predpokladať, že voda zapĺňuje priestory medzi vláknenami. Objemový podiel vody, ktorý sa absorbuje do vnútra, je možné zanedbať. Potom by muselo platiť:

$$V = P \cdot t (1 - \mu)$$

V - objem kvapky

P - plocha kvapky

Úpravou by plynulo z rozpítej kvapky:

$$P = \frac{V [mm^3]}{t (1 - \mu)}$$

Musíme však brať do úvahy, že do povrchových oblastí netkanej textilie pravdepodobne voda neprestúpi, pretože pre ňu je výhodnejšie postupovať po kapilárne dôležitejších častiach.

Z posledného uvedeného vzorca je treba zaviesť t_{ud} /tab. č. 10/

Merania, ktoré boli prevedené v tejto práci je vhodné redukovať z každej strany o 3 priemery vlákna. Takže pre výpočet plochy rozpitej kvapky, potom platí

$$P = \frac{V [mm^3]}{(t - 6d_m)(1 - \mu)}$$

Pre používaný bavlnársky typ viskozy je priemer vlákna $d=0,0119\text{mm}$. Vhodnosť tohto výpočtu porovnaním experimentmi je možno posúdiť zo stredného priemera kvapky definovaného výrazom: $d = \sqrt{\frac{4P}{\pi}}$

tab.č.8

d merané	d z rovnice
20,5	21,0
22,3	20,4
20,2	19,2
20,8	21,3

Plocha resp. stredný priemer kvapky, charakterizuje výšku zistovanej funkcie nad osou x. Ako je z grafu č.13 zrejmé, je zhodné s výsledkami vzlinavosti. Savosť je i tu vyššia v pozdĺžnom smere než v priečnom. Experimentálne hodnoty, však na rozdiel od savosti vzlinaním nevykazujú priebeh S krivky, ale jedná sa skôr o lineárne klesajúci tvar. Preto nebolo možné použiť úvahy, ktoré boli použité u savosti vzlinaním. Riešenie fyzikálneho modelu tejto závislosti by patrne vyžadovalo hlbšiu analýzu hydrostatických, hydrodynamických a kapilárnych dejov, ktoré prebiehajú po dopadu kvapky na textíliu. To však prekračovalo možnosti tejto diplomovej práce.

Je možné len vyslovíť názor, že rýchlosť klesania tejto závislosti bude vedľa ostatných faktorov závislá na frekven-

čnej funkcie orientácie resp. na ich konštante c, ktorá vyjadruje mieru orientácie.

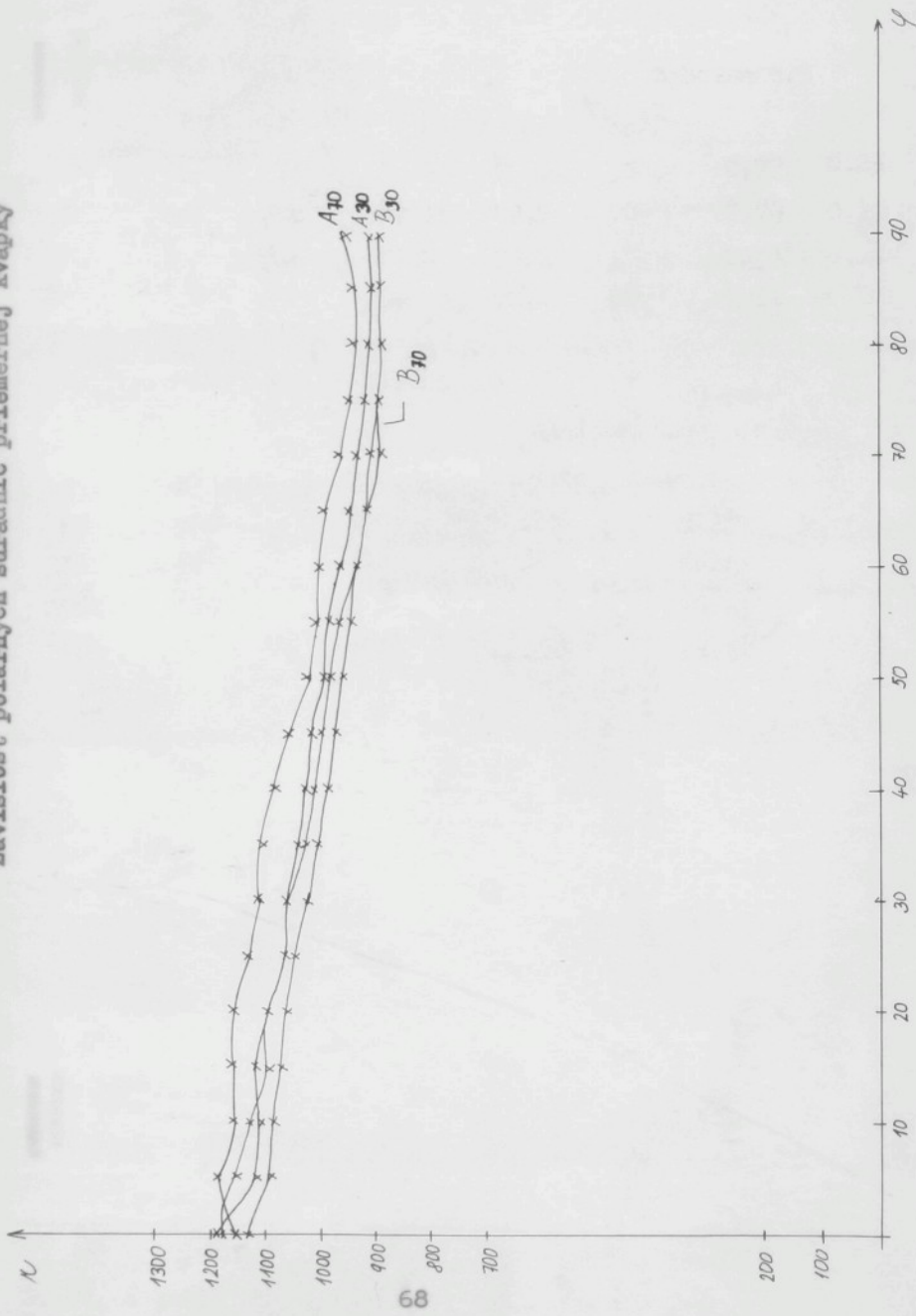
tabuľka č.9

M	P/cm ² /	P/mm ² /	/ t mm/	/ V mm ³ /	/ V mm ³ /		
A30	3,3	330	0,22	72,6	56	0,77	0,23
A70	3,9	390	0,23	89,7	70	0,78	0,22
B30	3,2	320	0,24	76,8	57	0,74	0,26
B70	3,4	340	0,23	78,2	56	0,72	0,28

tabuľka č.10

M	P vzorec	P skut.	Plocha	red t
A30	330	330	354	0,149
A70	312	390	328	0,159
B30	315	320	291	0,189
B70	338	340	355	0,159

Závislosť polárnych súradníc priemernej krvapky



5. Diskusia

V priebehu tejto diplomovej práce sme mohli stanoviť zrovnanie medzi metódou savosti vzlinaním a kvapkovou metódou.

Experimentálne zisťovanie savosti textílie by bolo treba prevádztať pri presne definovaných podmienkach, pri konštantnej teplote relatívnej vlhkosti vzduchu, ktorý meranú textiliu obklopuje. Tieto podmienky však metóda savosti vzlinaním nespĺňa. V priebehu experimentu dochádza k nasýteniu ovzdušia vodou, čo spätné ovplyvňuje odparovanie vody z povrchu textilií a tým aj ich savosť. K ďalším nepresnostiam pri meraní savosti textilií dochádza v dôsledku nedodržovania konštantnej teploty. U kvapkovej metódy môže dôjsť k podobným nepresnostiam.

Výsledky, ktoré sme získali u oboch metód však ukazujú určité vzťahy medzi orientáciou vlákien a kapilaritou. Táto závislosť je u metódy savosti vzlinaním dôraznejšia než u kvapkovej metódy. Pojená textilia sa skladá z dvoch komponent a to z pojiva a z vláknien. Štrukturálne vlákna tvoria anizotropnú a izotropnú zložku. Obidve komponenty môžu priamo ovplyvniť savosť textilií.

Savosť textílie závisí na množstve pojiva, ktorým je textília spojená. So zvyšovaním obsahu pojiva rastie aj savosť vzlinaním. To môže byť spôsobené hydrofilnosťou pojiva. Jemnosť vlákien hrá tiež dôležitú úlohu. Je pozorovateľné, že savosť vlákien jemnejších sa so zrovnaniem s vláknami hrubšími javí ako vyššia. Prítlak, ktorý bol použitý pri lisovaní sa významne neprejavuje. Pri porovnaní týchto dvoch metód by sme mohli dôjsť k záveru, že meranie savosti vzlinaním je presnejšou metódou, ale z hľadiska pracnosti kvapková metóda je rýchlejšia, a nie je tak pracná ako meranie savosti vzlinaním.

6. Záver

V predloženej diplomovej práci bola študovaná savosť textilii, a to pojenej textilie FLORAN, vytvorené z v lák-nového materiálu bavlnárskeho typu a vlnárskeho typu, ktorý bol prepojený pojivom DUVILAX BD20. Domievam sa, že na základe tejto práce sa začne rad výskumných prác, ktorých výsledkom by mal byť konečné navrhnutie jednoduchej, presnej a reproducovateľnej metódy na vyhodnotenie savosti pojených textilií. Výskum samotného hodnotenia savosti vzlinaním bude významou súčas-tou analýzy štruktúry netkaných textilií.

V diplomovej práci je popísaná a hodnotená metóda merania savosti plošných textilií vzlinaním, ktorá je v súčasnej dobe používaná na SVÚT. Ďalej je uvedená kvapková metóda na zis-to-vanie savosti textilii. S týmito metódami boli získané experi-mentálne výsledky, ktoré sú v práci diskutované. Poznatky, ktoré z výskumu uvedenej problematiky vyplývajú sa dá zhŕnúť do nasledujúcich bodov:

1. Základnou podmienkou preto, aby pojená textilia siala vodu je zmáčivosť vodou daného materiálu pojenej tex-tilie. To je krajový uhol na trojnom rozhraní - voda - materiál - vzduch, musí byť ostrý.
2. U materiálu, ktorý voda zmáča je ďalej rozhodujúce štruktúra vláknovej vrstvy. Struktúra závisí na jem-nosti vlákien, na orientácii vlákien a pod.. Plošná textilia musí obsahovať určitý počet vlákien pričom tia textilia ešte saje vodu.
3. Ak pojena textilia splňuje predpoklady 1 a 2, saje vodu.

Metóda určovania savosti plošných textilií, ktorá je v sú-časnej dobe používaná na SVÚT, nie je dokonalá. Savosť plošných textilií zistovaná touto metódou je posudzovaná len podľa výšky

do ktorej voda v textílii vystúpila. Sacia výška však neurčuje jednoznačne množstvo vody, ktoré textília za dobu merania odtransportovala. Pritom toto množstvo odvedenej vody je z fyziologického hľadiska pre človeka rozhodujúce.

Možno predpokladať, že komplexné spracovanie problematiky prispeje v budúcnosti k vytvoreniu konkrétnych vyhodnocovacích metód savosti vzlinaním v oblasti netkaných textílií, na základe ktorých bude možné optimalizovať jednak užitné vlastnosti, tak i ekonomiku výroby a nájsť tak najvhodnejšiu technológiu výroby a spôsob uplatnenia týchto textílií.

Použitá literatúra

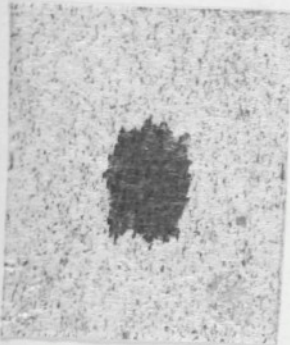
1. Kavan, P. - Hájek, K: Savost textilií / výskumná správa/ Liberec, Státní výzkumní ústav textilní 1979
2. Jörder, H.: Mechanizmus transportu vlhkosti v netkaných textiliích z rouna používaných v oděvním a obuvnickém průmyslu. In: Banke, K.: Výzkum v oboru netkaných textilií 76 / dodatek ke sborníku/. Liberec 1976
3. Simon, J.: Textilní materiály. 1.výd., Praha 1954
4. Ptáček, A.: Struktúra rouna / disertační práce / Brno 1976
5. Simon, J.: Teorie předení. / Spřádací procesy II. díl/. 1. vyd. Liberec 1978
6. Horák, Z.: Fyzika - příručka pro vysoké školy technického směru. 1. vyd., Praha 1976

Z e z n a m p r í l o h

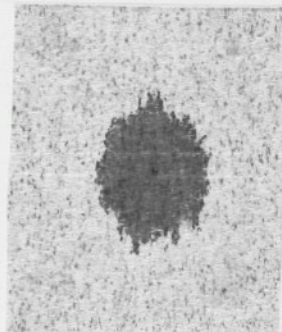
1. Príloha č.1 Vzorky

VZORKY

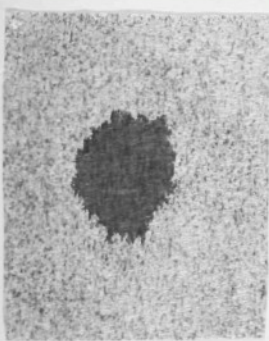
A 70



A 30



B 70



B 30

